# 例会講演要旨集

第42号

局地気象 中小規模現象

1987年11月20日(金)広島
日本気象学会関西支部

# 目 次

1.	ヒマラヤの天気予報	1
	中島暢太郎(日本気象協会関西本部)	
2.	団地の都市気候学的研究	4
	福岡 義隆,鳥居 淳,小林 正興,	
	井上 智博,南 利幸(広島大学総合科学部)	
3.	都市気候の変遷について	10
	根山 義晴(日本気象協会広島支部)	
4.	広島湾の海陸風の構造と環境の及ぼす影響	13
	福岡、義隆,安田、喜憲、南、利幸,	
	小林 正興,井上 智博,鳥居 淳(広島大学総合科学部)	
5.	海陸風始終時の地理的相異について	17
	平本 光男(日本気象協会広島支部)	
6.	海陸風時の風向の分布特性――von Mises分布の適用――	19
	瀬戸 信也,重光 和之,大原真由美(広島県環境センター)	
7.	一層メソモデルによる地上風のシミュレーション	22
	渡部 浩章(広島地方気象台)	
8.	メッシュデータを用いた地形因子解析法による気象観測所の代表性について	24
	大奈健(呉測候所)	
9.	気圧配置型による降水成分について	27
	大原真由美(広島県環境センター)	
10.	山陰地方の冬季雷	29
	森  広道(広島地方気象台)	
11.	1987年9月10日の発雷	34
	森  広道(広島地方気象台)	
12.	三次市における霧の特別観測(その4)	38
	中国山地の霧研究グループ	
	宮田 賢二,近藤 和美,真木佳代子(広島女子大学)	
	森  広道,西津 正明,羽原 健司(広島地方気象台)	
13.	中国山地の霧の発生条件の研究・・・・・・・・・・・・・・・・・・・・・・・・・・・・・・・・・・・・	41
	宮田 賢二,佐瀬 尚美(広島女子大学)	
14.	1987年9月17日の広戸風について	44
	佐橋 謙(岡山大学教育)	

# ヒマラヤの天気予報

# 中島暢太郎 (日本负象協会)

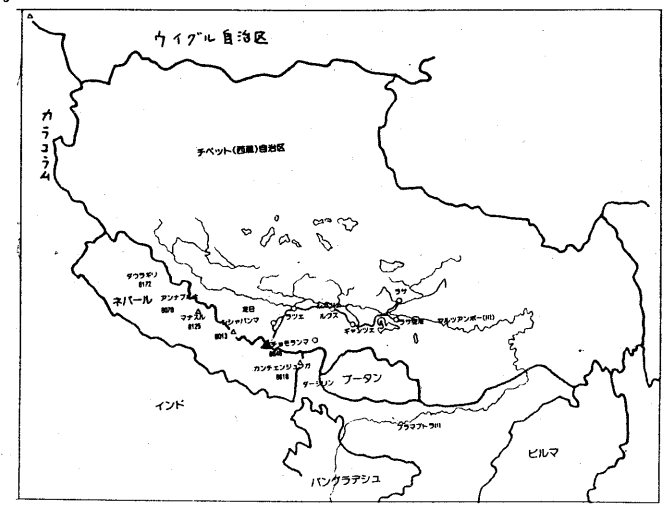
## 1、ヒマラヤの天気と登山

地球上でもっとも高いヒマラヤ地域は、対流圏と成層圏との接点にあるともいえる。天気図では 山頂付近は300mb尺気図で表現すべきであるが、一方あくまで山頂は地表である。 太陽の日打 が敵乱などで弱められることが少ないために、頂上行近で測定される日射の強さは同じ緯度の地表 (例えば日本の南西諸島)に較べると著しく強い。そのため、晴天であれば昼夜の気温較差は著し く大であり、対流圏上部あるいは成層圏下部に対しても山頂付近は強い熱源となり得る。しかし一 方、頂上付近は部分的には米雪で覆われていてアルベドーが大きい。さらに午後は特に山頂灯近は 雲量が増大し、また雨季と転季の雲量の差も大であって、氷雲や雲が多い時やそのような所では地 表に運する日射量は滅りし、山頂付近が大気に対する冷源となる。 さらにヒマラヤ山脈は赤道付巡 の海洋性気候とアジア大陸内部の大陸性気候を隔てる壁の役割を果している。したがって登山に好 適なプレ・モンスーンのヒマラヤの南斜面と北斜面の降雨条件はきわめて対照的である。 チョモラ ンマにブレ・モンスーンに中国側から登3うとす3隊はベースキャンプで糅め少ない乾燥気候に遭 へ、 ネルール側から登ろうとする隊は早くもはじまる雨になやまされながら登ることになる。 風り 方は頂上付近はジェット気流による強い西風にさらされ、その強風軸の南北方向の移動や消長に注 目する。しかし、中腹では深くたぐれた谷がいるいるり方向に走り、強風は各4走向にしたがって 何さを変え、また山谷風の影響を受けて昼夜で向きを変える。このようにヒマラヤの高峯に登るう とする隊は、対流圏上部の半球的規模の大気の流札によってその行動を大きく支配される一方、複 鞋で色峻な地形に応じて地表近くのきびしい局地気象に気を遣わればならない。天気予報に用いる 天気図も山頂付近の風に対しては500あるいは300 mbの高層天気図が心要であるが、山腹を

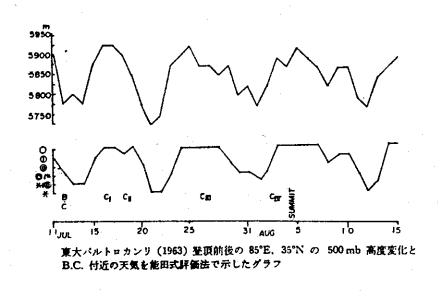
這い登ってくる地表近くの気流や雨雲に対してはもっと下層の天気図も参考にしなければならない。例えば、ベンガル湾から近づくサイクロンの天気に及ぼす影響が大きいが、それは資料の豊富な地上天気図の方が情報源として有利である。ベンガル湾の海面からヒマラヤの山頂に至る起伏りある。地表に沿り天気図は存在しない。観測にしても、ヒマラヤの高峯で地表付近に存在する実は下層雲とすべきか上層雲とすべきか困ることがある。また、ヒマラヤの比側では偏西風に伴い西から移動してくる天気変化の影響が大きく、南斜面ではベンガル湾方面からのモンスーンの影響が大きいが、カラコラムなど西部ヒマラヤでは偏西風の影響が大きく、東部ネバールヤブータンではモンスーンの影響が大きい。このようにヒマラヤ登山のための天気予報には大気大循環の知識と局地気、の知識とをりまく組み合せる心要がある。

の隊が残した記録を図にしたものであ

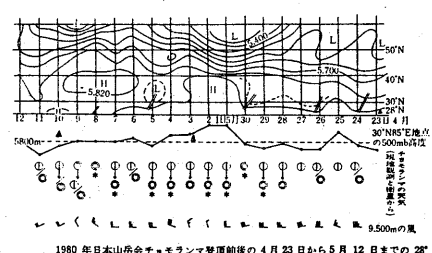
2. カラコラム地方の天気予報の例



3. 図の上部は著者が順上近くの85° E, 35° Nの 500mb高度を高層天気団から読みとってグラフにし たものである。下回はベースキャンプ纤近のこの隊によ って観測された天気を6段階に評価してグラフで示した ものである。また、この隊のBC, C1, C2などの各 キャンプの完成日正記号で示し、登頂日をSummit と 記しておいた。これをみると500mb天気団上の谷や 峯n 変化とB.C、での地匚の天気とが良く対応している ことがわれる。また各キャンプの建設と登頂が好天をよ く利用して行なわれたこともわかる。このようにク月か ら8月の盛夏においてもカラコラムでは中緯度偏西風中



の波動を解析、予報することによって比較的容易に反気予報を登山に利用出来ることがわれる。ク ラコラム地方ではモンスーンの心配をみまりしなくてもよいことも 好那会である.



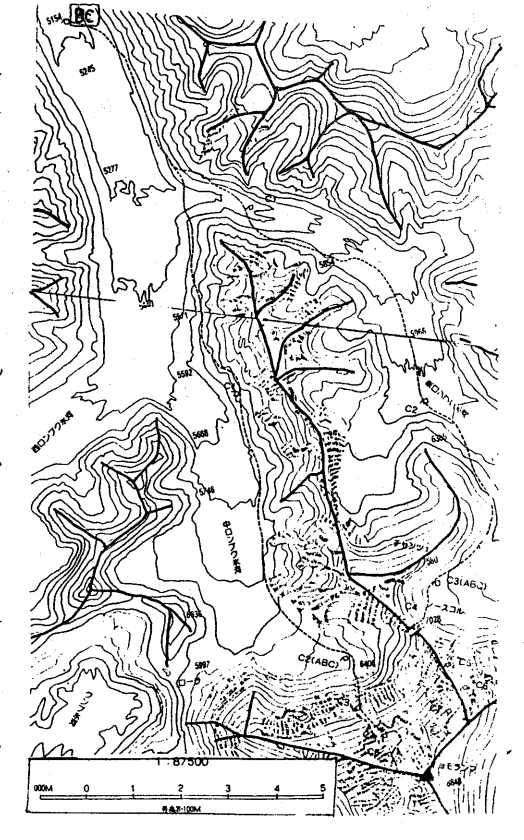
# 3、チョモランマでの天気予報の例

上の例は事後解析の例であるが、次は実際に著者ら が天気予報を行なった例について述べる。 1980年 のプル・モンスーン季に日本山缶会け中国登山協会と 協同して、ヒマラヤの最高峯チョモランマ(エベレス ト)を中

国側の北 壁と北東

||チュモランマ峯の北側の概念団、左上端の 稜とから 【ロンブク秋河中にB.C. 在下端に頂上

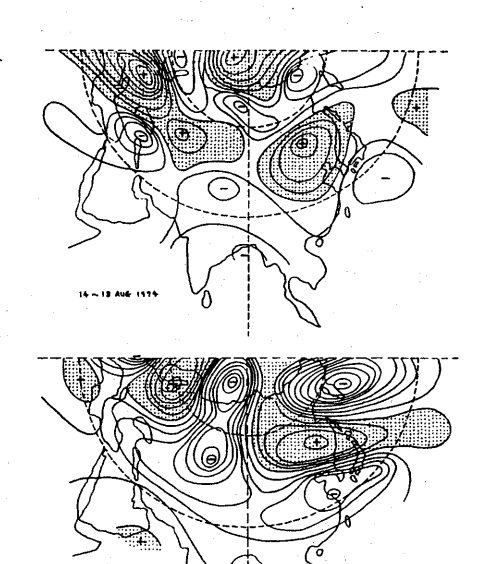
それかれ登頂した。この隊のベースキャンプと東京の 読売新聞本社との間は無線電信で結ばれていたので、 著者らは日本の気象庁で入午出来た北半球天気団と ひまわり」画像を用いてヒマラヤ上空の天気解析を行 ない、現地のベースキャンプおよび前進キャンプの気 案権報と組み合せることによって、 3 時間ごとの天気 予報を東京から現地に送りつづけた。上の図は当時気 象庁の予報官であった成川二郎氏が作成した、28°N から60゜Nまでの500mb高度の4月23日から 5月12日までの(左から左へ日行をとっている)タ イム・シーケンス(部分的に天気図に対応する)を画 いたものであり、その下にチョモランマに近い 3 0°N, 85° EA500mb 高度 ムグラフと現地付近 4天気 状況および、近くで中国科学院の隊員が測った9,50 On の高度の風が記入されている。5月3日には北 東綾から5月10日には北壁からそれぞれ登頂に広功 1たが(図中の▲印)、2月以上にわたるアダック行 動に充分なほど長つづきする晴たに恵まれたとはいえ ない。カラコラムの側にくらべて南東に位置するチョ モランマでは、ジェット気流軸が北た退さ、頂上付近 カ風が弱まると好都会である半面、ネパール側からの モンスーン気流が入りやすくなり、雲量や雨天が多く なるという難しさを伴う。「ひまわり」で監視してい ると毎日午後になると雲量が増すのが認められ、登山 行動の難しさが東京たいてもきびしく感じられた。



## 4. その他の例

著者は上の2例の他にもいくつかのヒマラや登山隊 の天気予報及び事後解析に従事した。1973年の京 都太学学士山缶会のヒマラヤ東部のヤルンカン峯登山 隊に対しては、ハムを利用して現地と日本のハム愛好 者とが紐び、さらに現地ではトランシーバー、日本で 17電話を用いて、著者が直接予報を現地に送ることが 出来た。勿論気象庁とも電話で情報を交換しての上で あった。1977年の日本山缶協会のカラコラムのK 2峯登山隊の場合には、日本に帰ってから、その資料 を検討して気象学的トラの行動の失敗および成功の原 因をつきとめることが出来た。さらに1982年の京 大学士山缶会のカンベンチン峯、1985年の京大・ 同志社と中国の合同ナムナニンが、同じ1985 年の京大山岳部のブータンのマサコン峯などで、この 種の天気ラ報技術がヒマラヤ登山で有効なことが実証 されて、中国登山協会でも高く評価された。

最後に、1974年のカラコラムK12峯登山中の 良い条件と悪い条件とを、北半球500mb5日平均 平年偏差因で比較する。 K 1 2 峯は 7 5° E, 3 5° Nのやや北に位置する。8月14~18日の平均図で はその付近から北にかけて正偏差域が位置.1、8月2 9日から9月2日の平均図では、この緯度が北の方か ら南へ延びる深い負ゅ偏差域にかぶわれていて条件がきわめて悪いことを示している。



500mb 高度5日平均平年編差図。等値線は20m ごと、上は1974年8月

#### 団地の都市気候学的研究

福岡義隆·鳥居 淳。·小林正興·井上智博·南 利幸(広島大学総合科学部)

#### 1 はじめに

団地の小気候的特色として、田宮兵衛(1966)は東京都下ひばりケ丘団地において都市同様に団地中心部に気温の高い部分が発生し、団地外部(周辺)との温度差が日の出前に最も大きくなること、気温の垂直分布観測から接地逆転が発生していることを明らかにしている。また、榊原保志(1982)は、団地内で特に夜間にはっきりとした湿度の低い地域が発生していることを述べている。このように、これまでの研究から団地の小気候の特色がいろいろ明らかにされてきたが、その特色が団地の大きさや構造等の違いによってどのように変わるかは殆ど分かっていない。

そこで本研究では異なった大きさや構造を持った団地において気温・湿度等の分布を調べ、その分布や時間変化にそれぞれどのような特徴があるかを明らかにすることを目的とする。その為には様々な団地が比較的近接しており、また小気候区的に同一と考えられる地域ないに存在している必要がある。本研究の対象地域、岐阜県各務原市は濃尾平野北部に位置し'東海気候型区'(吉野正敏、日本地誌12巻)に属する。この辺りは15年程前より岐阜市や名古屋市のベッドタウンとして急速に宅地開発が進んでいる。その過程で各種形態の団地が構築されてきた。これらの団地の中から代表的なものを選び、また、夏季の観測からは比較対象として同一地域内の愛知県犬山市・日の出、団地を加えて観測を行った。

#### Ⅱ 研究方法

#### [春季観測]

「夏季観測」

本年4月中旬の6日間、できるだけ風のない天気のよい日の夜間に10団地について実施した。観測時間は各団地そけぞれことなるが、日没後20時ころより翌6時ころまで3~5回移動観測を行った。自動車で各団地内外15~33地点を移動し、全地点で乾球・湿球温度(アスマン式通風乾湿温度計使用)を、主要4~6地点で風向・風速(マイクロアネモ使用)を測定した。なお、各団地内で気温の定点観測(自記温度計使用)を行い、移動観測に対する時刻補正に備えた。

8月上旬から中旬にかけての6日間実施した。この回より平野部にあって地形的影響を受けない団地として愛知県犬山市の '日の出団地' (No.11)と春季実施した10の団地 (No.1~10)との比較観測を行った。従って、No.11では6日間毎夜、No.1~10では一夜ずつ同時観測した。観測時間は20,22,24,2,4時の5回である。春は一回の観測で2時間以上かかることがあり、その為に時刻補正が必要であったが、それによる誤差を少しでも小さくするためにと、観測地点をふやす必要から、観測方法を変えた。すなわち、サーミスタ温度計(乾湿の1対)を通風管にいれて、これを自動車最前部中央に設置(地上約180cm)し、デジタル表示計を車内において読み取る。車体の熱を受けないようにするためと自然通風を起こすために、観

測地点付近で10km/時くらいの低速で走りながら観測した。風速は熱線風速計で測定した。

#### Ⅲ 研究結果

#### [春季観測の結果]

一例として、緑苑団地、鵜沼台、新鵜沼台の各団地における観測結果について紹介する。観測は4月13~14日である。この日は移動性高気圧におおわれ風が弱く雲一つない快晴であった。しかも寒気が入り朝方にはそうとう冷え込んだ。この3つの団地は山を切り開いてつくられたもので、おおむね緑苑団地と鵜沼台団地は南向きに、新鵜沼台団地は南西に傾斜している。緑苑団地西側は大安寺川すじに向かって急な崖となっている。また、最東部は緩やかな谷となっている。緑苑団地と新鵜沼台団地の間には陰平山、新鵜沼台の南側には宝積寺山が位置するなど、これらの団地をのぞいて山地または谷地にかこまれた地形となっている。

この日の結果、緑苑団地北部には強い高温部が存在し南部にも弱いながらも高温部が認められる。また、大安寺川すじには強い低温部がある。この間の温度芝は実に3.7°Cにも遠している。しかし、他の2つの団地には高温部は存在せずむしる低温となっている。

この3.7°Cという温度差はこれまでの研究例からみて極めて大きなものであり、これは谷すじにそって冷気流が流れ込んだことによる低温の結果と思われる。それをうらずけるものとして緑苑団地東部は谷すじに面しており低温となっている。また、鵜沼台・新糖沼台にも高温部が存在せずむしろ低温なのはこの2団地が谷すじ的な地形なので冷気が溜りやすかったと考えられる。

#### [夏季観測の結果]

丸子団地と日の出団地の観測結果の一例について紹介する。これらはいずれも平坦地につくられた団地で、丸子団地が畑地に、日の出団地は水田にとりかこまれ、まさに平野に孤立する島状の団地である。丸子団地は段丘上にあり東側に10m程度の台地崖をもつ。いずれの団地もすべて一戸建ての住宅からなる。

観測は8月12~13日に両団地を同時に行った。天気は弱い夏型で晴れていたが雲が多く、13日明け方にかけて曇りとなった。風は20時ころ2~3m/秒の比較的強い南風が吹いていた(丸子団地では地形の関係からか南西風が吹いていたが明け方にかけて次第に弱まりつつ東よりの風となってきた)。

#### 《気温》

20時ころ丸子団地では一カ所、日の出団地は団地の狭あい部をはさんで2カ所の高温部が団地上にあり風下側の団地の端に吹き寄せられる傾向が認められる。日の出団地では22時において風向の逆転があったが、そのときは20時とは逆方向に吹き寄せられる感じとなっている。

時間の経過につれて日の出団地の北部の髙温部は消滅傾向にあり、また、丸子団地では団地東部にまで広がっていた髙温部が西方に限られる傾向が見られる。これは、この消滅する髙温部が比較的はばの狭い部分にあり風の影響で熱が拡散しやすい条件であると思われる。

丸子団地においては22時より伊木山のせまった東西路上を中心として低温部がずっと形成されるが、これはこの地点が谷部にあたり冷気湖が形成されやすい条件にあったためであろう。

団地内の高温部と外の低温部との温度差は20時において丸子団地では最大0.8°C、日の出団地では1.4°C、これが4時においては丸子が1.1°C、日の出が1.4°Cとなっている。

20時から4時までの気温の低下度をみてみると丸子北西部が温度低下が少なく東西道路の東の方で低下が大きい。日の出では団地南西部に気温低下が少ない部分が見られるが、団地外にも同程度のものがみられ団地北部では逆に低下が大きいところがある。

低下の大きい部分と小さい部分との差は丸子では最大1.0°Cである。全体的にみて日の出の方が丸子より気温低下が0.5°Cくらい大きいが、これは団地のまわりの土地利用が丸子では畑地、日の出では水田で、水田には水がはっていたことから潜熱輸送による温度低下の影響で全体的な低下の差が出たものと思われる。

#### 《相対湿度》

団地内は一般に低く、外が高くなっているが、分布状態は気温の分布とよくにており、相対湿度の低い部分が団地の風下側のへりに分布する傾向がみられる。

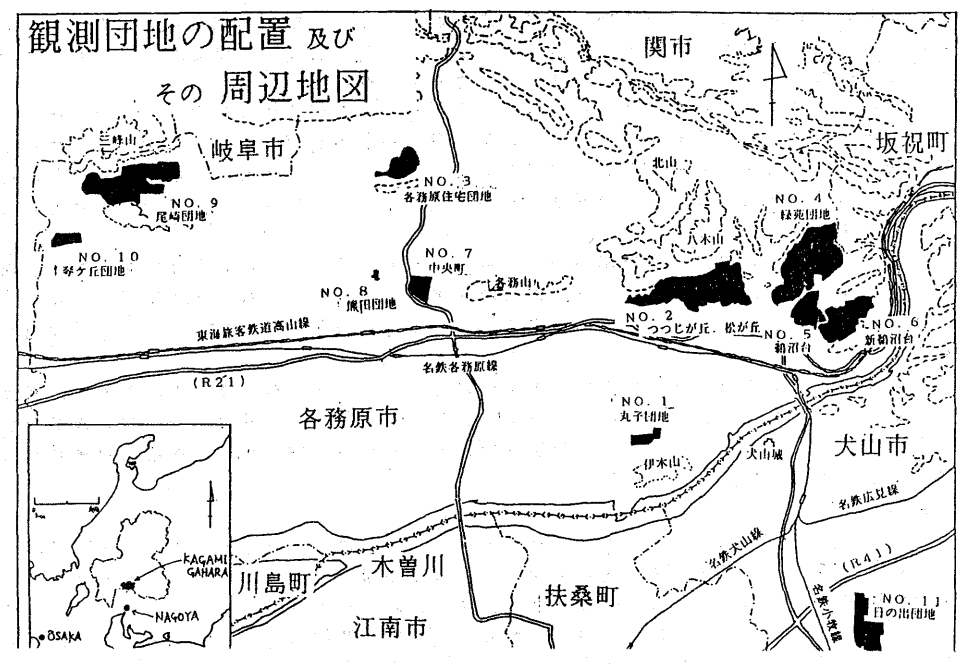
しかし、団地内の相対湿度が丸子日の出とも同程度の値(20時丸子が最大71.2%、日の出72.2%、4時丸子85.0%、日の出87.0%)で平行して上昇していくのに対し、団地外においては丸子は20時においてその最大値が75%であるのに対し、日の出はすでに82%に達している地点がある。4時においても丸子が最大92.3%、日の出で96.2%と4%くらいの差がある。これは土地利用と関係がありそうで、水田中の日の出団地の方が蒸発が盛んなため相対湿度がやや高いのであろうと考えられる。

20~4時の相対湿度の上昇は団地内が低く、外が高いという一般的傾向がみられるが、日の 出団地では逆になることもあった。

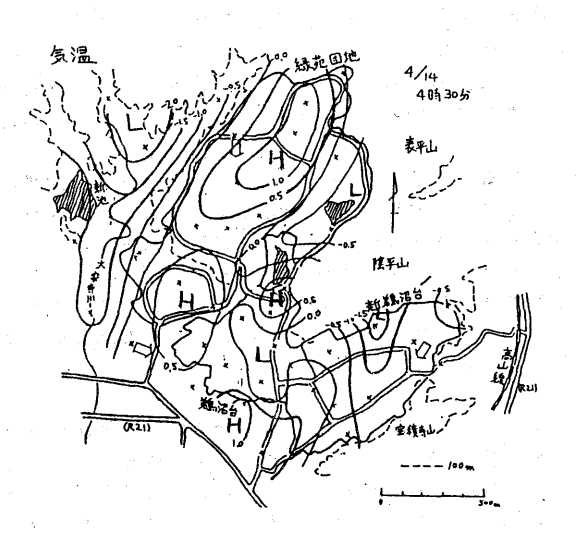
#### IV 考察

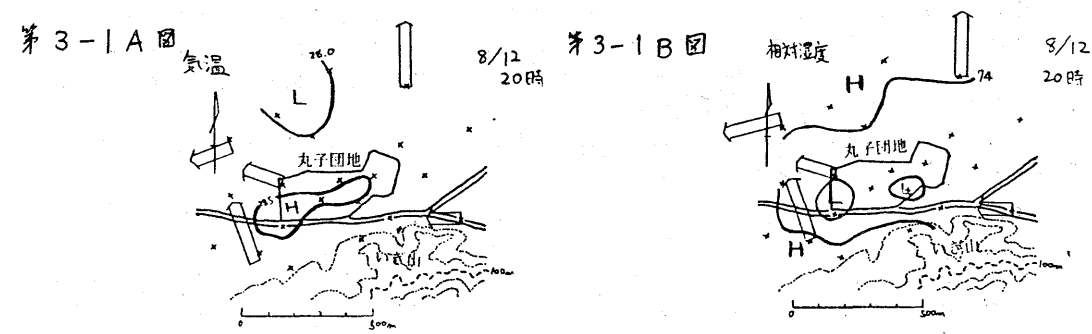
夏季の観測については天気があまりよくなかったため、放射冷却が行なわれにくい状況にあり、 団地内外の温湿度の差がでにくかった。しかし、土地利用の違いの影響は出ていた。また、春季に は谷部に低温域がはっきり現われていることから、地形の影響も重要であることが分かった。

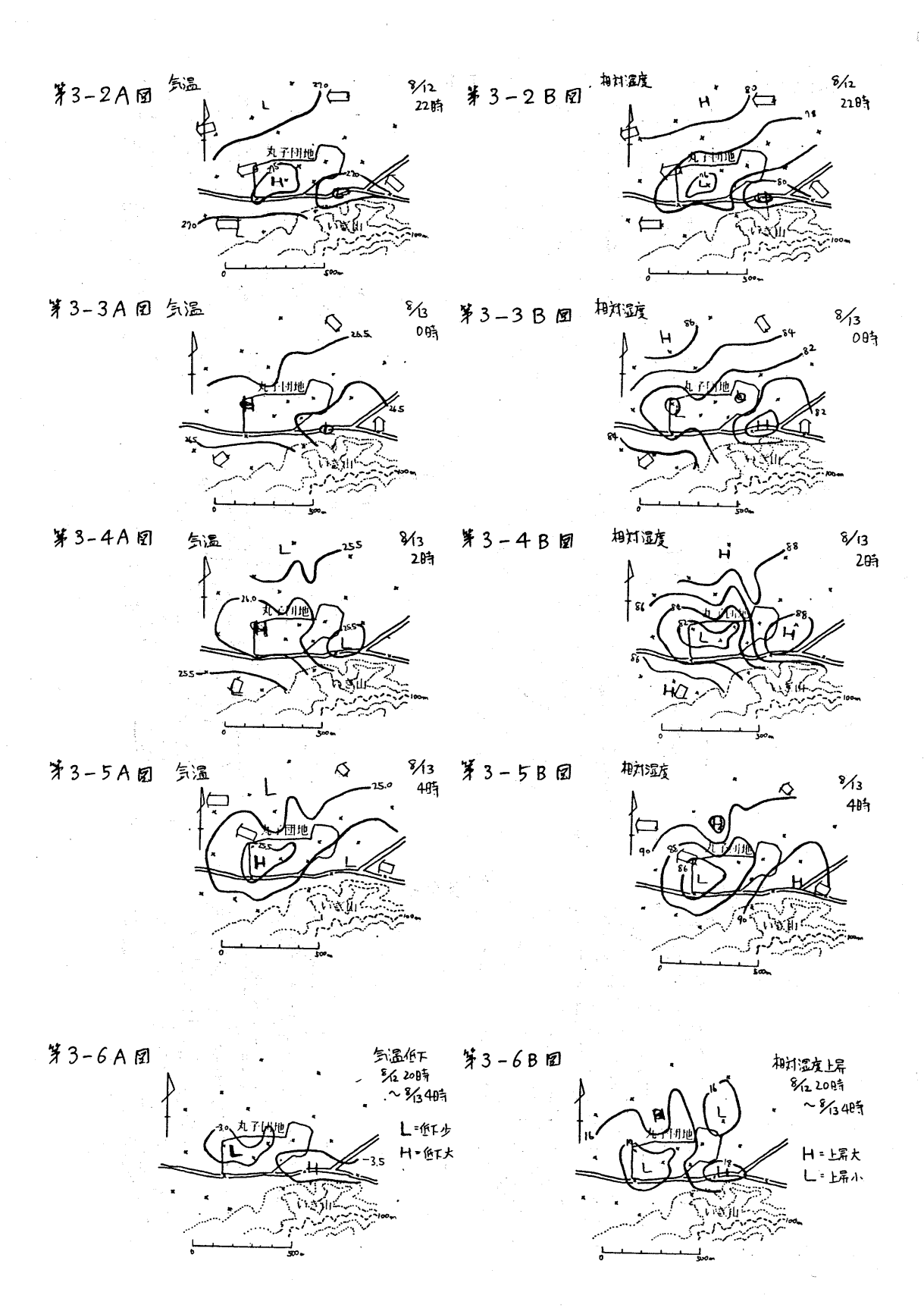
第1回



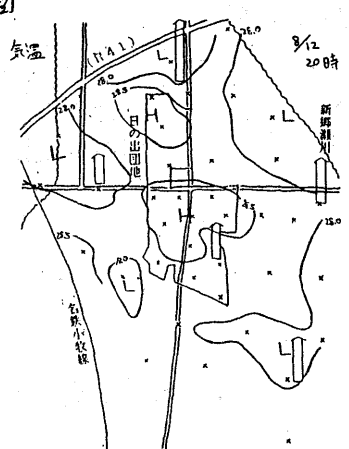
第2回



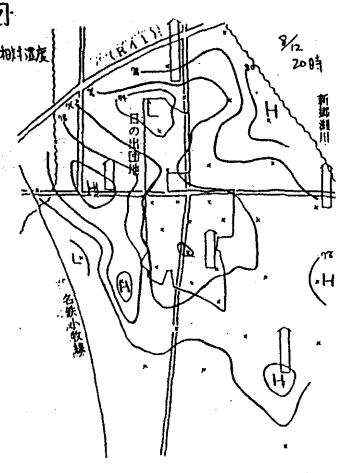




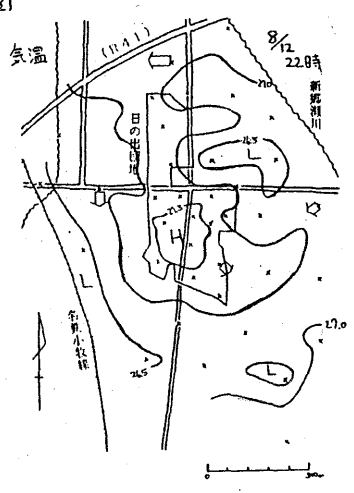




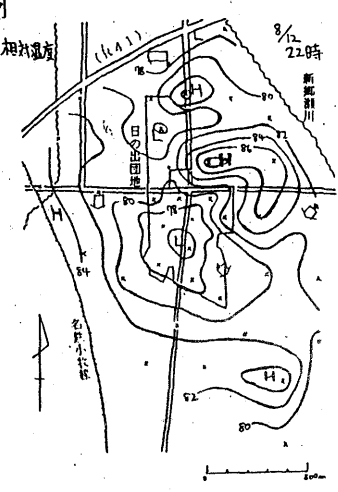
第4-18回



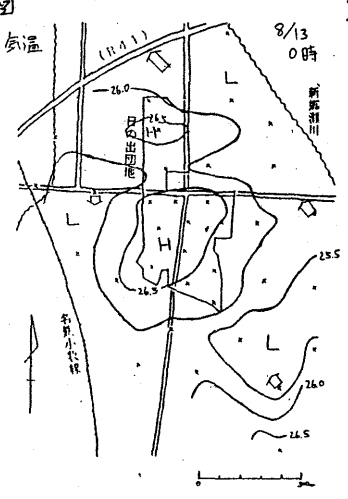
第4-2A 図



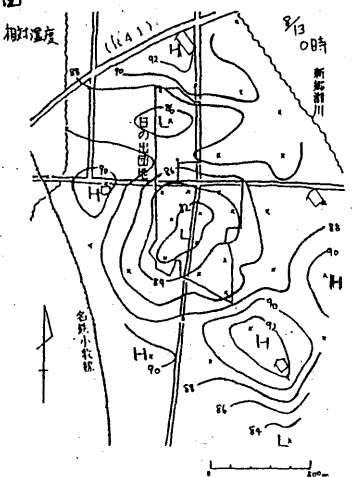
第4-2B 团



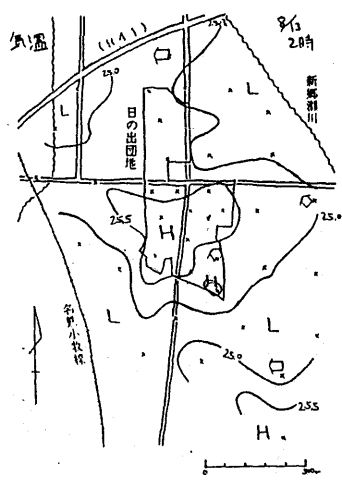
第4-3A 团

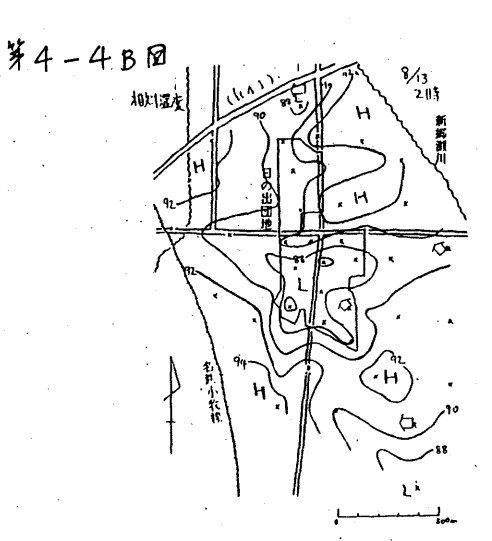


第4-38回

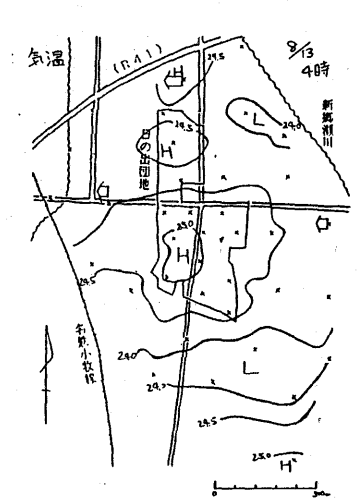


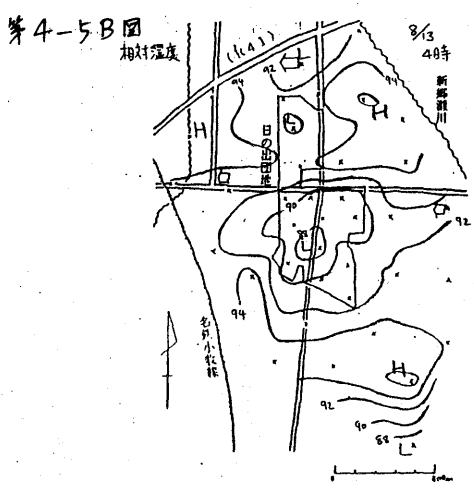




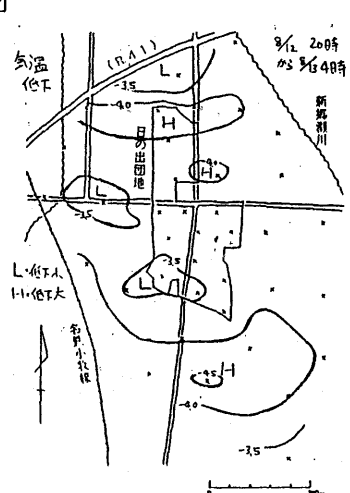


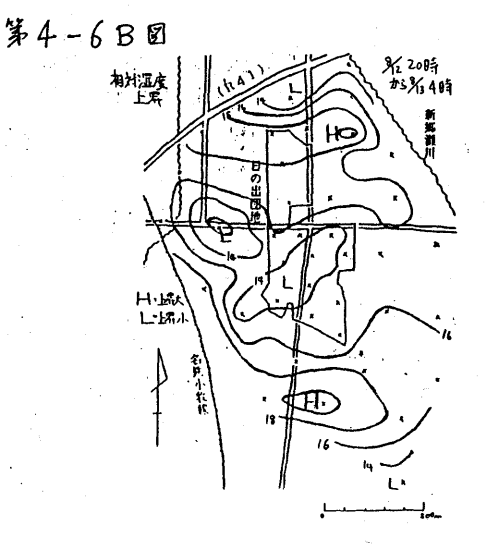
第4-5A图 宝温





第4-6A回





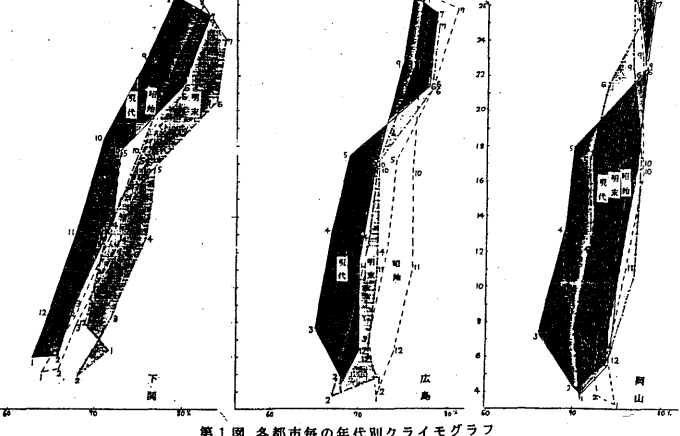
# 都市気候の変遷について

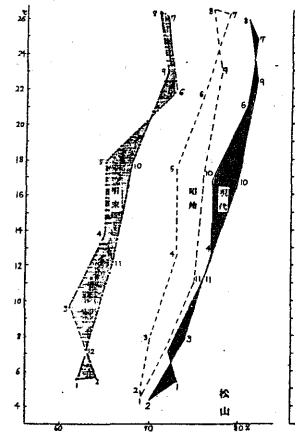
# 根山茅晴 (日本氮泵協会应密支部)

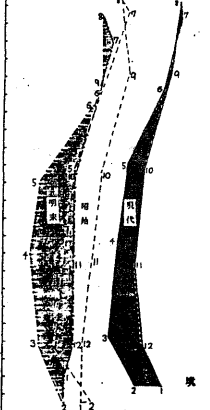
# 1. はしがき

各都市の気候を表的す方法にクライモグラフがある。このグラフの特徴は、月平均気温と月平均 湿度との関係から気候特性を示すもので、グラフの形及が由じた曲線型の傾き等から知ることがで きる.

主として中国地方の都市の中で、 まず気嚢観測が100年位続けられ ているとと、都市化の進展状況がそ れぞれ異なることおよが地勢的K類 ア内沿岸 山陰側に分けて対案地兵 さ抽出した。都市は下関、広島、岡 山松山境、との中で庁舎の移転 のあった下関は最近のととでもある。 ため移転前のみの期間を取りあげ。 また岡山トついては移転後の1部の 資料は除外してとった.広島では現 代という時期はすべて移転後のデー ターである.変遷の遁程を明治末期. (明34~43年), 昭和初期(昭







6~15年) 現代 (546~55年)の3年代以分 け それぞれの年代における音都市の気候特性がどの ようK疫わっていったか、 また地理的位置での 違いと 変遷およかそれらが都市機構をらがにその変化が都市 気候 K 与えた影響等 K も言及した。

# 2. 各都市の特性

オ1四以よると、下関以ついての特徴は明治末期か ら開和初期、現代ドかけての移行鐡程ではしだいに乾 燥化に向っており、経月傾向は暖候期が寒候期より谜 潤であるという形が名年代ともよく類似している。広 島は下関とは逆に、明治末期から昭和初期にカけては na湿潤化傾向にあるが,経月傾向は下関と類似している.

また現代は江汐山ド移転した値であるが乾燥化の傾向を示している. 岡山ドついてはひ年代とも移 転前の賃料ドもとついているが、下関、広島と大きく異なるのは名時代ともばば同じょうな気候状 態を示し、年代の経題に伴う気候変動は見られない。 ヒガ現代の冬へ春の期間には乾燥化が追んで いるようである。以上のように獺戸四山陽側の共涌兵としては現代が乾燥化に進んでいることであ

次に瀬戸辺四国側ドついて松山の図によると、これば開腌に開始末期,原和初期,現代へと湿潤 化ガ著るしく進展していて、山陽側とは逆の近程をたどっている。 さら以特性としては経月疫化の 週程の中で現代は香季と秋季との間ト程度の差が極めて小さいことである。

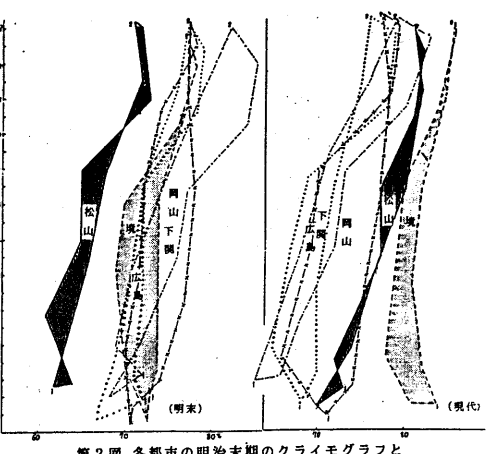
ざらに山陰側の境についてみると、 明治末期から廃和初期, 現代へと気候の変転は湿潤化に向っ ている実が拾山と握めてよく類似しており.特k親代kをって飛跳的k碮潤化水進んでいる.

然果的 K は, 躓声以山陽側では3年代中現代が最も乾燥しており, 否月の気温では犬さな違いは ない、四国側は全< 近K規代が最も湿潤k変っているが、各年代名月の気温は山陽側同様変わらな

い、そしてでしる山陰側は瀬戸四田側は類似している、次に、明治末期と現代とさ比較してみると、才2四に示されているとかり、明治末期は松山を除いてほぼ同じような気候状態のところに集中しているが、現代になると松山と境が湿潤化に喪めり、他の気候グループとはかけ離れにように変遷した。するわち、明治末期、現代ともに瀬戸は山陽側の若都市は両年代の間で乾湿の程度は、変化しているか、それぞれ類似した気候状態にある。四、国側と山陰側はこれとは異なった状態にあり、かっ両年代間の移行のなかでクライモグラフの形が大きく変化して気候特性の変率を示していることが特徴的である。

# 3. 都市構造との関係

都市の構成が高地気候K及I手す影響は無視できないので、生からの都市構造の内容のうち面積、人口、人口密度等Kついて都市別、年代別以外1巻で践めてみよう。境を除いた名都市は現代Kグラで町村名併等のなめでみるう面積は著るして増加しており、また人口も急増している。都市域の中でを気象官器の値がどの程度の地域代表性を持っかは難かしい問題であり、例とはあるり離れた山間かの都市と后併して都市化が進んが場にはられど気等官署の示す気候値にはあまり影響は当日がも地川ないが、周辺部で都市化が進んだ場合には密接を測底がでてくるであるう。各都市とも面積が急増大しだ年代には人口も2~3倍位増とており、年代毎の都市構成の変遷は境を除くとか子り大きい。そりK人口密度Kついても約りまた識れしているし、また



との おおおお 現代のそれとの比較

		鱼块地	<u>ر</u> م	宏度 %	安朝海洋
Ľ.	73	27.29	133,719	4900	
	15,	69 86	327,470	4721	1
8,	晃	672.86	846.373	1258	Q.3
Ä	PA	9.66	89,648	9280	
щ	2	47.49	166.144	34 19	4+
_	死	510.46	513,471	1006	0.3
·	15	5.36	34,500	10168	
r M	15.	27.46	132,737	4 834	0.5
	九	220.81	266,593	1207	0.3
_	94	-	-		
ゥ	15	19.46	22,969	1630	
	爽	22.92	37,358	1180	0.7
松	ж	5.2	31,393	7383	
ш	和	17.96	81,940	4 5 6 2	0.6
	*	288 68	367,323	1272	0.3
館	1	表各	都市の村	<b>养造内容</b>	の変遷

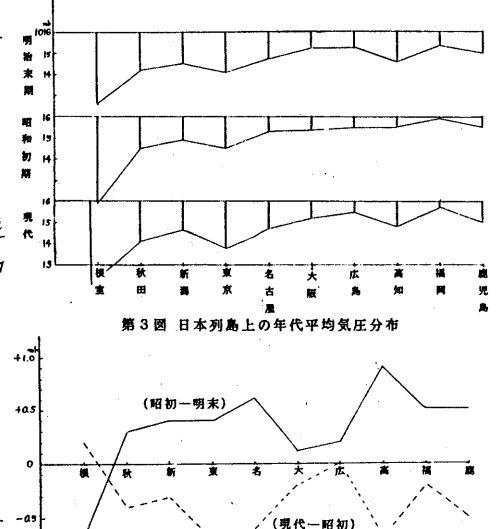
の減率は風山を除けは半分位になっている。 このよう K都市環境は開沿差期から現代へと変遷が大きく、られと都市気候とき対比してみると、 関戸は山陽側では都市の発展に伴って田園解放地が減水し建造物、人口の増加に伴ら社会・生活環境の変転がかきたにもかかわらず気温変化はほどんどない。 乾燥化に向った山陽側の気候は都市化ドよる増出地勢上の変転に対応しているようである。また湿潤化ド向った松山と境は社会構成の変化を伴った現象としては考之難い。このようド、都市気候と都市環境とのかなわり合い及が両者の変遷における関係の間に明らかを田果関係を認めたく

い都市もある。この英ド国してより高い関連性を見出そうとすれば気露官署厨正の社会環境のみを対象とする方がよい結果が得られるであるう。

# タ 平均気圧分布との関係

都市の構造構成の変化との関連以外に、別り立場太与 脱りるために規模を大きくとり、人の直接気候との関連 性のある平均的を増上気圧配置みら調べてみた。その場合 合式域に小たる気圧配置をとるべきであるが、一応の目 安として日本列噺上の気圧分布を対象としてみた。 対る 四で見られるとおり、日本列漏上の気圧分布は定性的に 410 は、明昭末期、昭和初期、現代ともに根室、東京、高知 展児品が相対的に低圧で、新路、在前、福岡か高くなっ でいる。とのようにみると、特に目立ったら年代の関の ・相撲はないようである。

次 ドヤ4 図 κ ↓ って、 年代の推移 ド 伴う形での気圧差 -as-でみると、 特 κ 町 日本では大阪、 広角 は明阳末期 ~ 昭和 初期 ~ 現代 へと気圧の変化はほとんどない。 このことは -101 顔戸 外側では気候変化ド対応した気圧分布の変化さ考え



第4図 各都市の年代推移に伴う気圧分布

-11-

ることは難かしい。しかし他の地域,例之は東、北日本,西日本太平洋側は明治末期から昭和初期 ドオけては気圧は上早しており,昭和初期から現代へは逆以下降している。この事実がどのように 気候変化以対応するみは今後の課題としたい。結局、瀬戸以側(大阪一広語)では気圧分布の下伊 別の変遷は延めて小ごいようで,気圧配置に対応させて気候が乾燥化に向ったりは隔側),まる涎 個化四 国側,山陰側)は向ったりしゃことを理解するのは、平均気圧配置によっての双乾湿の定 含か決すると一美的に対応させることの無理のあることによってもできないことであろう。

# 5. あとかき

都市気候の変遷は、そう都市生域の代表性のおる気温、理度さも一て端ずれば、都市構造の変化からる程度対応して出現しているのなも知れないか、おめ気柔官器の値がひく限られて都市域の代表しかるいでおろうから、直移的関連性を見出するとは難大しいでおろう。それはさておいて、定性的を都市気候を年代別にみると、山陰側、顔戸は山陽側、四国側にでクライモケラフが母じょうな形(1月九512月までの用じょけなが、田事れて那)さしている都市からったり、近五九夕現代までの年かり年代り進むに一出て気候が交ってきているととが期際に規われている都市からるととは、奥味深いととである、多役はセムに変遷り直程を定量的に完明していきてい。

最後人、下国、松江、岡山、松山、大阪の毎気銀谷にはいるいろと協力にとかを深刻します。

[琴考文献] 海路

広島湾の海陸風の構造と環境に及ぼす影響

福岡義隆·安田喜憲·南 利幸 · 小林正興 · 井上智博·鳥居 淳 (広島大学総合科学部)

#### Ι はしがき

瀬戸内地方における海陸風に関する研究はこれ迄にも数多くなされているが、陸風が一般風と地形との関係で、吹走時間や吹走範囲などがどのように変わるかについては余り研究されていないように思う。その辺のことを中心にして海陸風の構造について、既存資料の解析や立体的な実測によって研究を進めると同時に、大気環境に及ぼす影響を見るために、空中花粉の飛散を調べることも、本研究の目的の一つである。季節によって花粉の優先種が異なり、また、海風と陸風の吹走時間や到達範囲が異なるので両者の関係についてその季節性と地域性を明らかにして、大気環境調査への応用の可能性を検討したい。

#### Ⅱ 研究方法

- ①まず広島県の大気汚染調査報告書の中にある風向風速頻度表から、広島湾西部 (大竹、大野、二十日市、旧広島市内)の風配図を作成して一般的傾向と局地的特徴を考察する。
- ②海陸風の実測
  - 2-1 地上観測

春季観測-1回目:1987年3月26日15時~27日17時 場所~大竹市小方港(O)・阿多田島(A)

項目~風向風速・気温・湿度・水温(採水法と赤外放射温度計)

2回目:1987年4月18日10時~19日11時

場所~二十日市町田尻 (T)・宮島町聖崎 (H)

項目~風向風速・気温・湿度・水温(採水法と赤外法)

2-2 立体観測

夏季観測-1回目:1987年8月20日12時~21日12時

場所~大竹市小方港と阿多田島においてパイバル観測(2時間毎)と地

上観測(風向風速・気温・湿度・水温)

このほか宮島の2箇所(聖崎·革篭崎(K))、能美島(岸根

(G)) および兜島でも地上観測を実施

秋季観測-2回目:1987年10月30日16時~31日16時

場所~大竹市小方港・阿多田島にて立体・地上観測

二十日市田尻・宮島聖崎にて地上観測

このほか阿多田島山頂 ((A'), 約200m) と宮島弥山中腹 (獅子岩(S)、約430m) にて風向風速・気温・湿度を観測

なお、観測場所は第8図中にアルファベット記号で明記してある。

③空中花粉の測定

測定期日-1987年3月~継続中

測定方法 - 広島市および近郊の小学校 2 0 校の屋上に、円筒状のガラス瓶(花粉採集器、径 1 0 . 4 c m , 深さ 1 7 . 0 c m ) を置き、2 週間 ~ 6 週間毎に回収し、顕微鏡で 分析する。

測定対象-アメリカンフウ(観の一種で広島大学構内など限られた場所に植えられている)や 杉、松などの花粉のほかにチャコール(炭片)

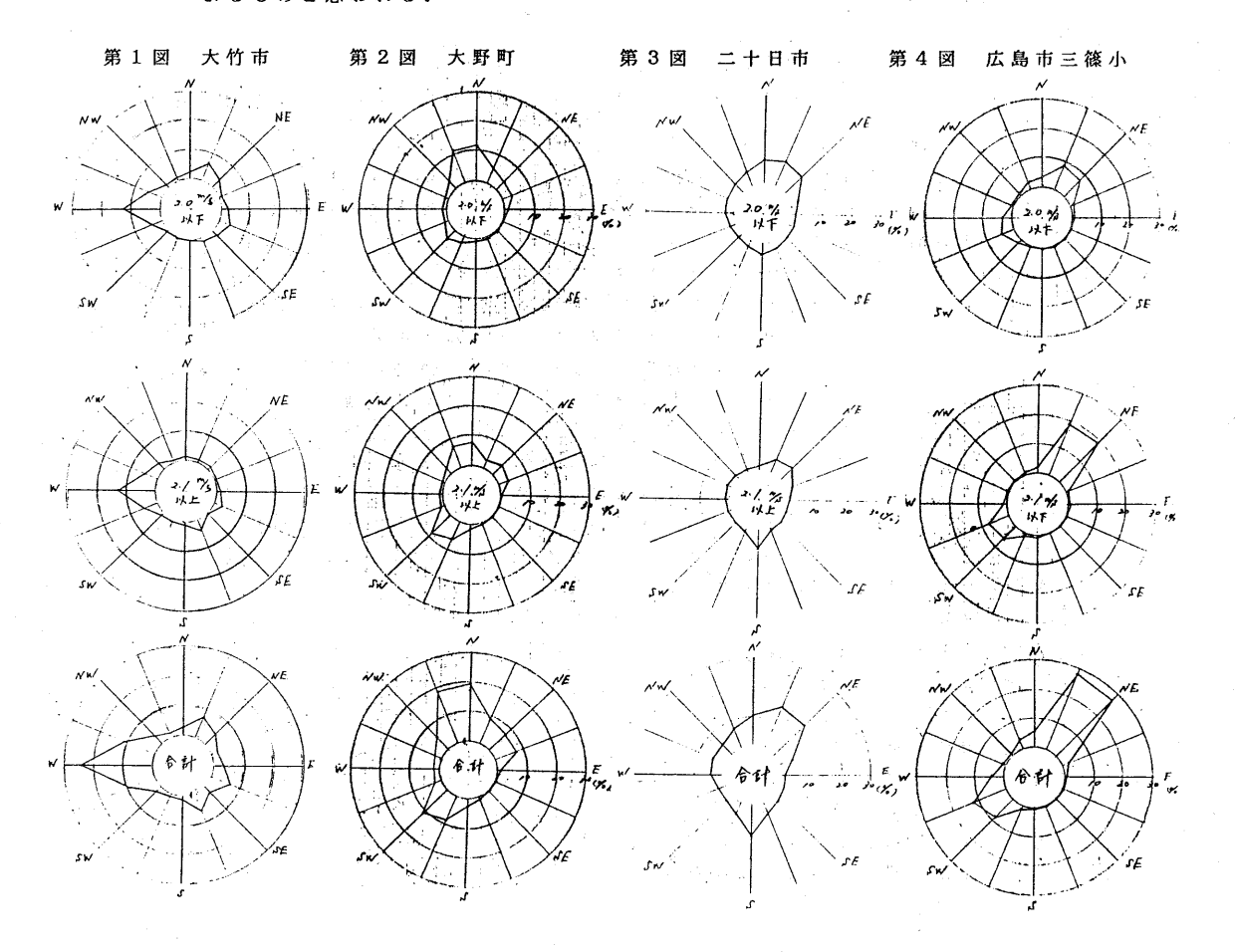
処理方法一単位面積当たり(1 c m²)の花粉またはチャコール量をカウントしそれらの飛散 状況と風向分布との関係を調べる。

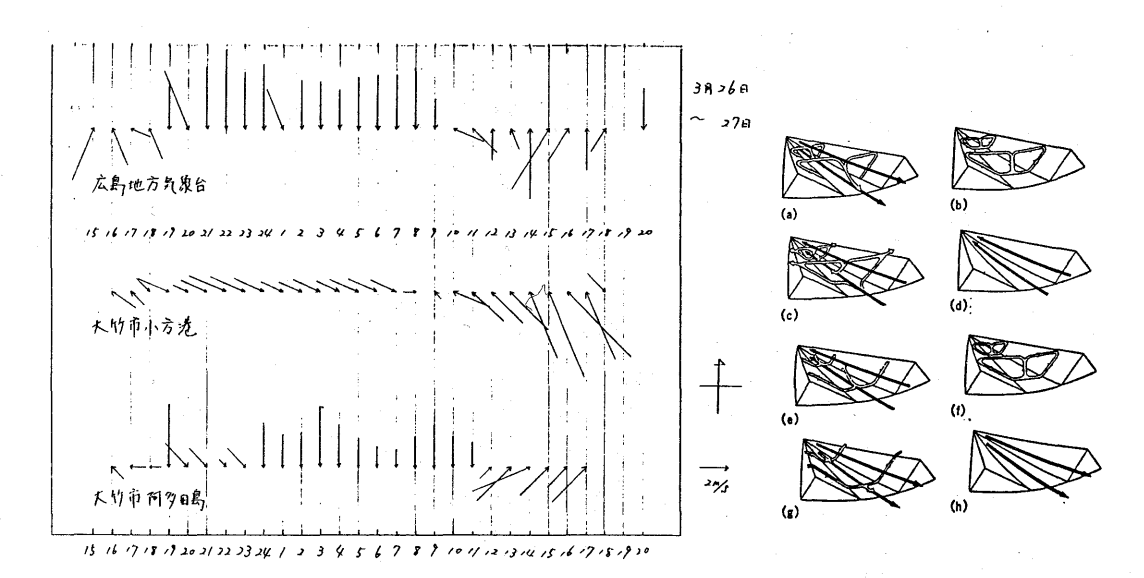
#### Ⅲ 研究結果

- ①広島県大気汚染調査報告書(1979年4月~1980年3月)の風のデータから描いた風配図の数例を第1~4図に示す。
- ②海陸風の実測結果のうち一例を紹介する。地上観測については春の分(3月)を第5図に、立体観測については夏の分を第7~8図に示した。
- ③空中花粉の測定結果については、3月10~24日の約2週間におけるチャコール量の分布 状況を第9回に、また、その間の風速で重み付けした風向頻度を第10回に示じた。

#### IV 考察

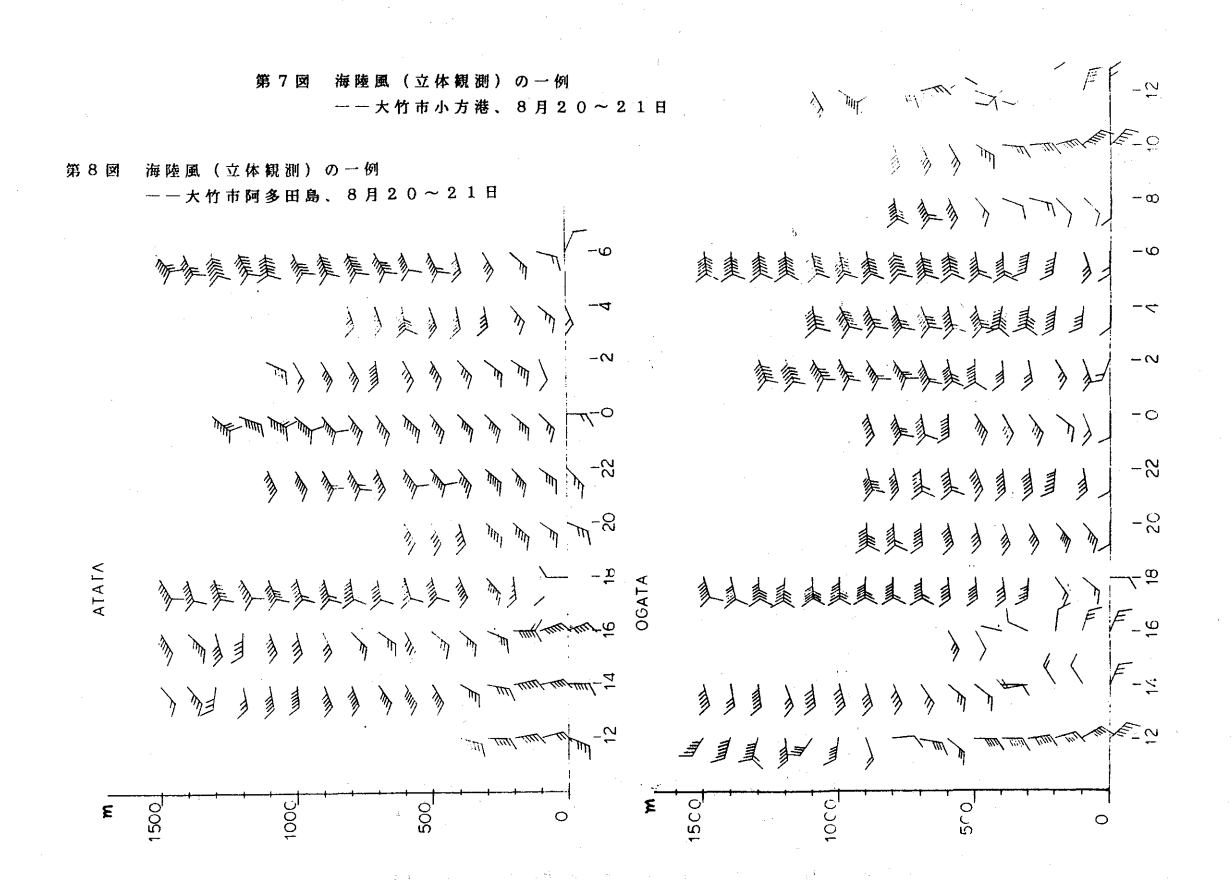
- (i) 広島湾西部においては、一般風の強弱により次のような海陸風または山谷風に相当するような局地風が見られる。これらの循環システムは'Defantの山谷風モデル' (第6図) の様なものと考えられる。
  - a. 「太田川沿い~広島湾沿い」の循環風
  - b.「八幡川~二十日市港」の海陸風・山谷風循環系
  - c. 「小瀬川沿い~大竹港」の海陸風・山谷風循環系
  - d. 一般風や海陸風に拘わりなく大野瀬戸に沿って吹く風
- (ii) 海陸風によって花粉やチャコールが一定方向・一定範囲に運ばれていると考えられる。 ただし海風で運ばれるにしてはやや遠距離の内陸(可部南小学校)に多量のチャコール が観測されたが、これは風下にある古いタイプの清掃工場(ごみ焼却所)からの煙りに よるものと思われる。

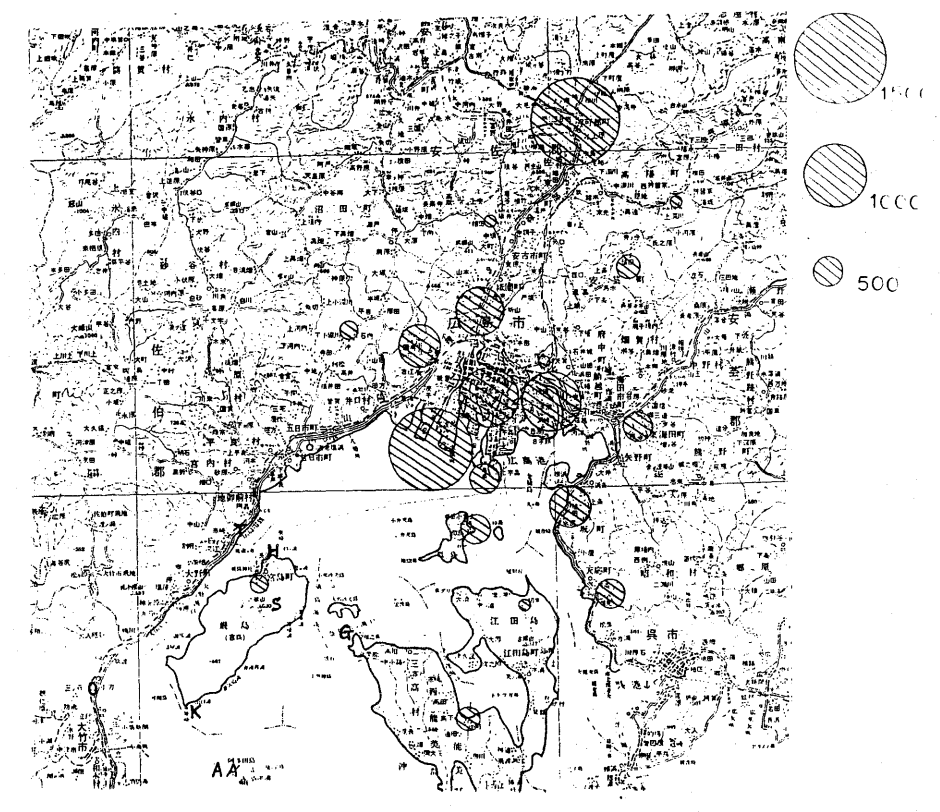




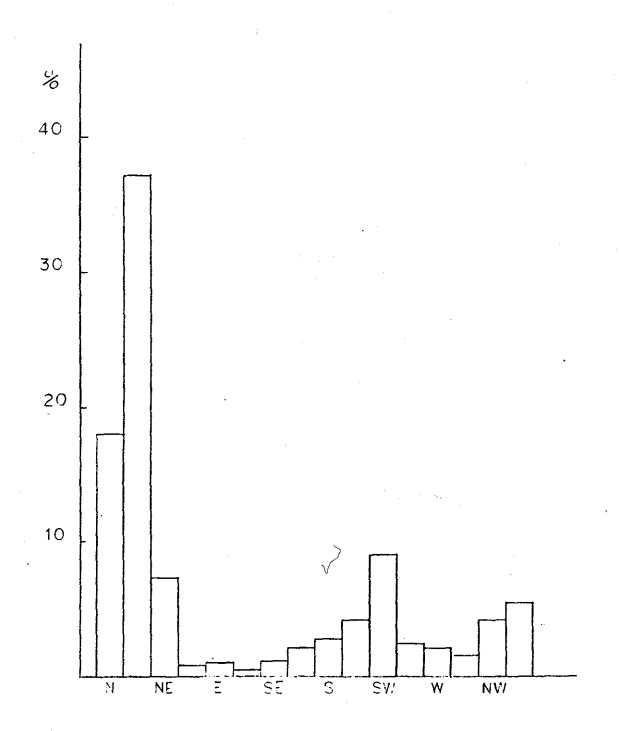
第5図 海陸風 (地上観測) の一例と気象台との比較

第6図 山谷風モデル (Defant)





第9図 花粉採集器によるチャコール量の分布観測一例(1987年3月)



第10図 花粉測定期間中の風向頻度(風速による重みづけ)

#### 海陸風始終時の地理的相違について

## 平本光男 日本気象協会広島支部

#### 1. はじめに

海陸風は、沿岸海上と陸上との間で沿岸線に対してほぼ直角に吹く局地的な風で、特にわが国では瀬戸内沿岸地方で顕著に現われている。この起因は、日の出と共に日射によって陸上と海上が暖められるが、両者の熱容量の違いで相対的には陸上が早く暖められてその上の気温が陸上のそれよりも高くなり、気温差が生じて、それが気温の差にはね帰って陸上から海上に向かう気圧傾度が生じ、空気が海上から陸上に流れるようになる。これを海風といい、夜間になると放射冷却による降温化は陸上の方が早く進み、相対的にまだ暖かい海上より陸上の方が低温となり、気圧傾度が陸上から海上に向かうようになって風は陸上から海上に向かって吹くようになる。これを陸風という。このように日中と夜間との間で180度風向が変転する局地風を海陸風と呼んでいる。この風が海上及び陸上に吹いて及ぶ範囲は数10㎞となるとされているが、瀬戸内沿岸のように背後に山地の迫っている地域では山谷風と海陸風との地域的な区別は難しい。ここでは広島県東部地方の沿岸部での海陸風の始終と内陸10数㎞辺りでのそれとの振舞の違いを観測事実より調査し、沿岸部から直ぐ奥に山地の迫った地域での海陸風研究の一端とした。

#### 2. 海陸風始終時と気温の関係

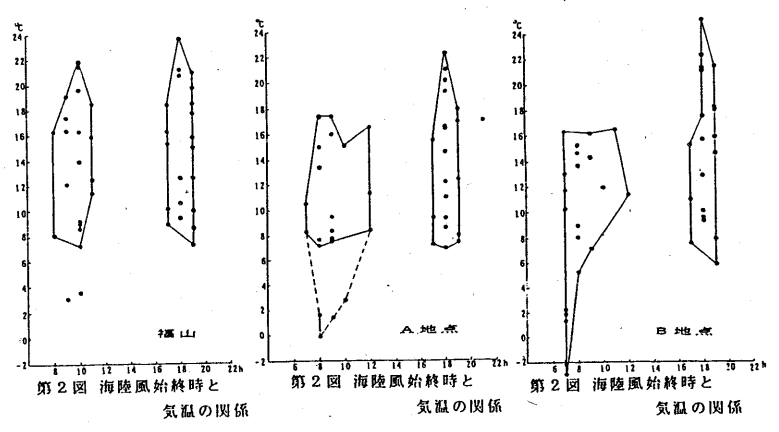
沿岸部での観測所としては福山測候所、内陸はA地点とB地点を対象とし、A,B両地点の地理的分布は第1図のとうりである。A地点は北方に向かう緩やかな谷間の中にあるが、B地点は北側

に低い山地が迫っている。各地点での海陸風のそれぞれの始まり時刻とその時の気温とをプロットしたのが第2図である。抽出したサンプルとしては海陸風の卓越する4,5月の中で、西日本が移動性高気圧におおわれて晴天で一般風の弱い日とした。この図から直感的に判ることは、陸風の始まり時刻は三地点とも18時を中心に集中しており、(図中右側)その折の気温は6~24℃で陸風の始まり時の気温としてはかなりばらついている。また海風では福山は10時を中心に前後2時間位の間にまとまっており気温も7~22℃とやや幅が狭くなっている。しかし、A地原と日地点は開始時刻も5~6時間の幅が有り、さらに気温の上は17℃位とそろっているが、下限は氷点下にも及んでいることを



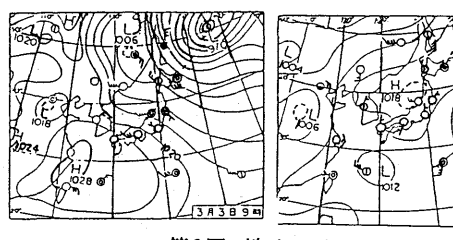
のまじいる岸らてあてえ関連まりが向類海にな風いるれをせいちと、るり陸のベての混か。らみはつてがな地って始ていか合複そにるもと、るり陸の人はのるさてのがでは風風現気配、気をしたなりとなりとないからたのなとととののぼ振らがらたのなとととのののに振らない。

ある。これらのことは海風



の日である3月3日の天気回と、最も高い気温の5月31日の天気図を第3回に示した。いずれも

移動性高気圧の圏内に西日本が入っている場所に西日本が入っている場所を動性高気圧の前面に対する場所を表現が流入した。後者を表現が流入の高気圧がつる場所を表現がある。この2例から見てなかる。この2例からうが最大ないた。この2ののようがあるく、一般風が弱が大く、要天圧の気圧傾度がゆると、一般風が弱が性であるようなに、大きないる。したがって気温は異なっていたが、



第3図 地上天気図

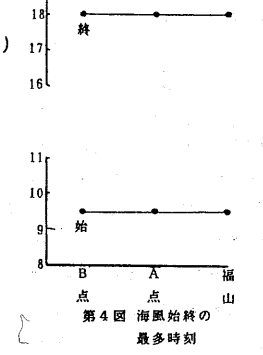
27 27

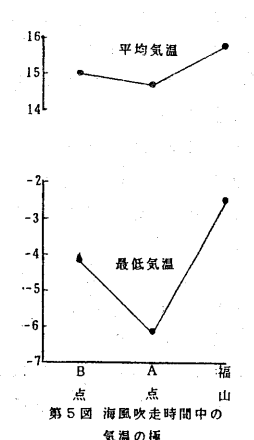
25

圧配置等条件が揃えば沿岸部でも内陸でも卓越するようである。

## 3. 海陸風始終時の地域的違い

第4回からわかるように、3地点について海風の平均始終時刻をとるとそれぞれ9時30分と1 8時となり、3地点ともほぼ同時的に始まったことになる。しかし、第2回で見られたように3地





粉高気温

幅があるのに対応して低温の違いが見られる。すなわち、日中の最高気温が地域的に差ほど変わっていないのに対し、海風始時の気温(最低気温)にかなり地域的な差がある。これは海風の及んでいる地域が山地のために朝方と夕方では地形の影響によって冷却度が変わるためであろう。谷間に沿ったA地点では北側に山腹を持つB地点より低温の度合いが強まることは理解できる。要するに山谷風の卓越するような場所にある所では海風吹走時の最低気温には地域差が大きく現われるので沿岸平野部と山間部での海陸風吹走の状況には大きな違いが出たのであろう。

#### 4. あとがき

海陸風始終の内、沿岸部と山間部での時刻についてみると、海風の始まりには3地点間で大きな時間幅が現われているのに、陸風の始まり時刻には3地点ともほぼ同じであることが分かった。そのことは同じような気圧配置を考えても、海風前線や陸風前線の到達が1時間以内にある範囲の地域内でみると、地理的条件によっておきる最低気温の表われ方に影響されているらしいことが思われた。このことは今後の海陸風の及ぶ地域が山谷風の吹走する領域にも該当するようなところでは複雑な機構として考慮する必要がある。

# 海陸風時の風向の分布特性 — von Mises 分布の適用・

# 瀬戸信也,重光和之,大原真由美(広島県環境センター)

瀬戸内沿岸域では ,パイパルやリンデを用いた海陸風の 観測が数のくなされ, 海 陸風の時間、空間構造に関する夕くの知見が得られている。一方,近年で日長期間のデータを統計 的に解析し,海陸風の実態や現象と発生条件,付加的条件とのかかりりを,より定量的には握しよ うとする試みもなされている。北林<sup>1)</sup>,Yoshi kado<sup>2)</sup>包目ら<sup>3)</sup>は一定の条件のもとで溶陸風の出現を判 定し , 海陸風の日変化や地域特性などを調べている。これらの研究では主として海陸風の平均的な 性状を解明することに力点が置かれており,厠向のパラツキにつりての考察は あまりなされていな り・平均からのバラツキは分散で表りされるが、平均、分散などの統計量の計算のみならず、分布 の概念を導入する方式、より定量的な解析が可能となる。Mardia4) は各種の"circular model" に関 する母数の推定および検定のレビューをしており、伊藤350や重光560 13 Mardiaの理論を応用し、 風向データに von Mises分布を適用した結果を報告している。菊風や陸風の 風向分布 ロ殻ねしム型 になる場合が外く、von Mises 分布のような unimodal な分布の適合性がよりことが予想される。 そこで本報では,海陸風時の風向分布に von Mises分布を仮定し,平均やパラツキを表わす母歓の 地域的な特徴につりて述べ,さらに海陸風に及ぼす気圧配置。の影響につりても検討する。

風向をBi(l=1,2,…れ)とすれば、平均風向えと分散Vロ次式ご表めされる。 2. 方法  $\overline{\chi}_0 = \tan^{-1}(\overline{5}/\overline{c})$  $V = 1 - R \qquad (o \le V \le 1)$   $(\overline{R} = \sqrt{\overline{c^2 + \overline{s}^2}}, \overline{C} = \frac{1}{n} \sum \cos \theta i, \overline{S} = \frac{1}{n} \sum \sin \theta i)$ 

Oi的確率室度関数

 $f(\theta; \mathcal{M}_0, \kappa) = \frac{1}{2\pi} I_0 \omega \cdot \exp\{\kappa \cos(\theta - \mathcal{M}_0)\} \quad (o < \theta \le 2\pi, \kappa > 0, o \le \mathcal{M}_0 < 2\pi)$ の Von Mises分布に従うと仮定する.4お IoW は第1種変形ペッセル関散である.从oは平均方向 を、んは Mozhりの風向の集中度を、それぞれ表わすの数である。Mardiaにまれば、Me fo の最大 推定量は

10 = To

 $\mathcal{R}$   $\mathcal{R}$ 

解析の対象は,広島県内の瀬戸内沿岸域と4の 3、結果 周辺部,内陸部、および島しよ部に配置されている大気汚染 測定局における徴風向風速計のデータである。測定局の位置 を図1に示す。これらの測定局の1981年4月から1984年3月 すごの3年間のデータセットから、宮田ら3)の方法に従り海 陸風が吹りた日を抽出した。海陸風の出現率は5月から8月 にかけての期間に高りが、冬期にも吹りており、出現日数の 合計は390日であった、海風につりては15時の風向データを 陸風については3時の風向データを,各々の母集団からの標 本とみなし、これらりデータに von Mises 分布をあてはめた。 なお, Calm(風速:0.3 75以下)の場合は除外した。1例とし て,広島市の効外に位置する3局と内陸部の三次市内の12局 の結果を図えに示す。実線が理論分布を,破線が定測特度を, それぞれ表わしており、上段が3時、下段が15時である。3 局では3時が陸風 ,15時が海風 の分布であり、海風の主 風向と陸風の主風向とは,ほぼ反対方向であること,また海 風よりも陸風りパラツキが小せり ことなどがわめる,なおり。

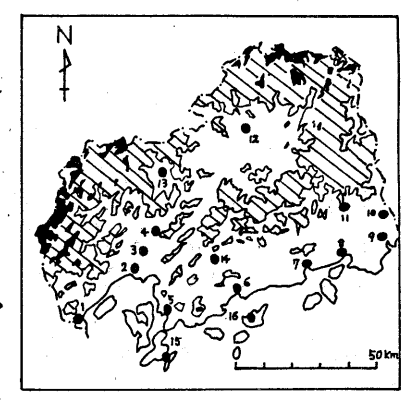


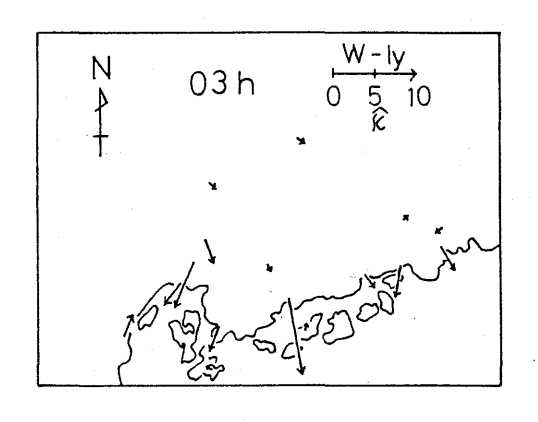
図1 測定局の位置 等高線は400m間隔

Âと実測の最頻値の方向とはよく一致している。全体 的な面合度は陸風の方がより、海風時に東測値と 理論 値がややうれる原因は、主風向と送向さの風が少し存 在するたみであろう・一方,12局では昼夜の仏。 差が約60°と小さりニヒ、および風向のパラツキの昼 夜 ともに3局と 双パて 顕著に大きり こと などが 特徴的 である。倉と実測の最特値の方向につけては3時には 日ぼー教しているが、15時には約40°ブれている。15 時のように顕著な卓越国句が存在しない時の命の解釈 にあた、ては注意を要する。 名とんの地域分布を図る に示す。ペクトルの方向(風上から風下向き)が Doe ベクトルの長さが兌き、それぞれ表わしている。15時の14. 名=199° の分布図をみると、 石岸域では大竹市 (1局)が南東寄 り, 広島市(2,3局)と呉市(5局)が南西寄り, 竹原市 から稿山市(6,7,8,9局)にかけてがほぼ南字りざあり |海風の主風向は概ね海岸線と直角方向であることがり かる。風向すバラツキは沿岸部では小せく,島しょ部, ヒ,東 広島市(14局),府中市(11局) りょうに 治岸部の 後背 地域では大きり。一方, 3時の角の分布図から,陸風 の主風向は大竹市を除いて海風の主風向と反対方向で あること、食口のくり地点で海風と行ば同じ値である ことなどがりめる。灯陸の午代田町(13局)では三次市 と同様に昼夜ともんが小さいことが注目されるが、こ 4. 水海陸風に起因すると考えるよりも, 内陸部に固有

 $N(0^{\circ})$  3局 3時 12局 3時  $\hat{k} = 3/1^{\circ}$   $\hat{k} = 6.4$  3局 15時 12局 5時  $\hat{k} = 1.7$   $\hat{k} = 2.8$   $\hat{k} = 2.8$ 

図2. 風向の東測領度と理論分布。 東線以理論値 , 破線以実測 値を表わす。 実測値は16方 位に区分した百分率であり, 円周上を風上っ方向へ向い ている。

の局地風(山谷風,)側面風) と考える方が妥当であるう。 次に,気圧配置が助上付近の海陸風に及ぼす影響について検討する。地衡風は広島展をとりまく,松江一



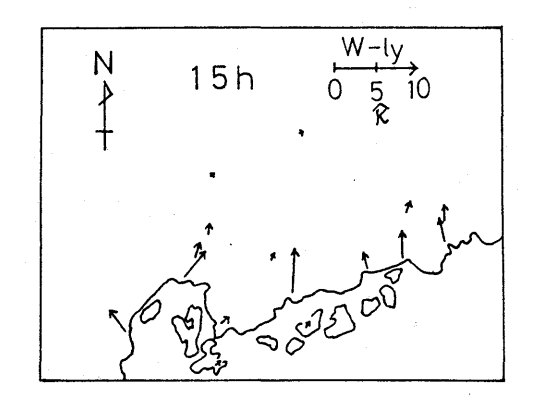


図3. Дのとんの地域分布・ベクトルの方向が発き、ベクトルの長さが名を表りす。

高知と岡山 - 下関の午前9時の地上気圧差から求め た、海岸線が日ば東西方向であることも考慮し、海 陸風の主風向が基本場から重形さん易りと予想され る東寄りと西寄りの地衝風を対象にした。地衝風向 別の名と兄を図4に示す。実機が東寄り、破練が西 寄りの地衝風であり , 図中の数字は図1 の測定局の **歯号に対応している。海風時に時徴的なことは,地** 衡風が西寄りの時に広島市(2,3,4局)や呉市(5局) でんが顕著に大きくなることである。これらの地点 は図3に示すように,全海陸風日の海風の主風向が 南西寄りの地点である。こめことから、地衝風向が 海風の主風向寄りの場合には風向のパラツキが小さ くなる傾向が伺える。また,発につりては沿岸域の はとんどの地点で地衝風が西舎りの時にやや西舎り に傾いて11ること,内陸部と島しょ部では地断風 向が異なると大きくづれることなどがわかる。一方, 陸風卧には即衡風向が東よりの時に兌が大きり地点 (2,3,4,8局)と,西野りの時に分が大きり地点(1,5)9, 15)にわめれる。また,粂につりては,両地衡風間 の系統的な差違はみられなり。以上の結果から,地 衝風は,海風時にシスティマティック に作用する傾向があ るように思われるの地衡風の海風と陸風への影響の しなたの違いは、海隆風の鉛直構造の虚いに起因す 3色のと推測される。

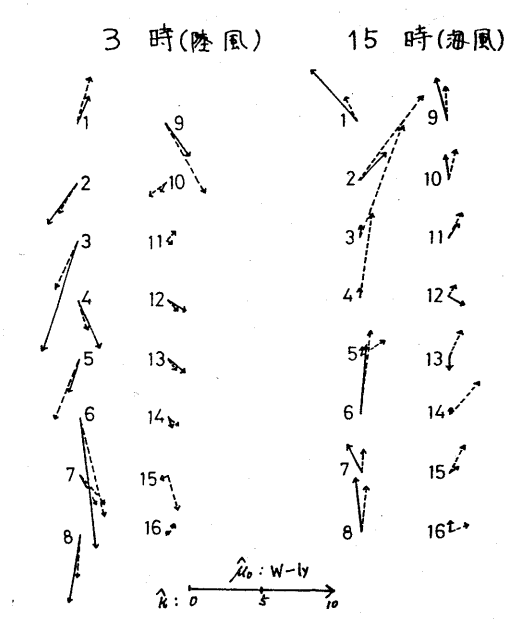


図4. 地衡風何別の 心と ん 実線が東寄りの,破線が面寄りの, 地衡風向。(東寄り: n=154, 面寄り: n=113) 図中の数字は図り、測定局の番号に対応にている。

# 参考文献

- 1. 北林興二,海隆風の統計的解析,公害,11,5,80-98,1976.
- Z. Yoshikado, H., Statistical analyses of the sea breeze pattern in relation to general weather conditions, J. meteor. Soc. Japan, 59, 98-107, 1981.
- 3. 宮田賢二編 , 広訇県の海陸風 , 湀水社 , 広鳴 , 1982.
- 4. Mardia, K.V., Statistics of directional data, Academic Press, London, 1972.
- 5. 伊藤政志, 広尾社, 角度変量の統計による風向データの解析, 日本気象学会養季大会講演予稿集, 91, 1982.
- 6. 重光和之,瀕产信也,大原真由美,国向データの統計解析,全团公害研会誌,12,2,28-34,1987.

## 一層メソモデルによる地上風のシミュレーション

渡部浩章

(広島地方気象台)

#### 1. はじめに

Mass & David(1985) により提案されたモデルを用いて地上風をシミュレートする。モデルは一層の $\sigma$ 座標系で地形や非断熱加熱が地上風におよぼすメソスケールの影響をシミュレートできる。

#### 2. モデルの概要

第1図はモデルの鉛直構造を示しており、地上のTs,Vsを計算する. 静力学を仮定すると、地上においての運動量方程式は次のようになる.

$$\frac{\partial \mathbf{V}_{s}}{\partial t} = -\mathbf{V}_{s} \cdot \nabla_{\sigma} \mathbf{V}_{s} - f \mathbf{k} \times \mathbf{V}_{s} - (g \nabla_{\sigma} z_{s} + RT_{s} \nabla_{\sigma} \ln p_{s}) + \mathbf{F} + K_{M} \nabla_{\sigma}^{2} \mathbf{V}_{s}$$

ここで、Vs、Ts、Ps、Zsはそれぞれ風、気温、気圧、高度であり、fはコリオリのパラメーター、Rは気体常数、Fは摩擦力、Kmは運動量拡散係数である。この式は地上におけるある地点での風は、移流、コリオリカ、気圧傾度力、摩擦、拡散によって与えられることを示している。

拡散項は計算を安定にし、サブグリッドスケールの混合をパラメタライズしている。摩擦はF=-acCdVs|Vs|/Hによりパラメタライズする。ここで、aは日中で2、夜間で4で

ある. Cdは陸上で0.02,海上で0.0014とし、各々のグリッドボイントにおいて格子内の陸と海の比率によって決める.

truncation error を避けるために気圧傾度力の項を書き直すと

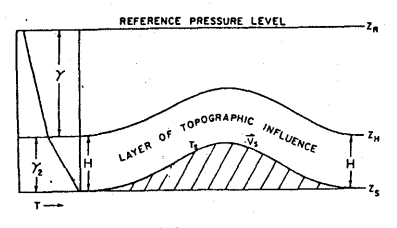
$$\begin{split} g \nabla_{\mathbf{e}} z_s + R T_s \nabla_{\mathbf{e}} \ln p_s &= g \{ (e_1 - H/T_H) \nabla_{\mathbf{e}} T_s \\ &- [e_1 + (e_2/\gamma T_R)(T_H - T_R)] \nabla_{\mathbf{e}} T_R \\ &+ (\gamma e_1 - e_2 + 1) \nabla_{\mathbf{e}} z_s + (e_2 - \gamma e_1) \nabla_{\mathbf{e}} z_R \} \text{ ,} \end{split}$$
 where 
$$e_1 &= (T_s \gamma_2^{-1}) [T_H^{-1} - (H_{\gamma_2})^{-1} \ln(T_s/T_H)]$$
 
$$e_2 &= T_s/T_H.$$

次に, 気温の傾向方程式は熱力学方程式から次のように書ける.

$$\frac{\partial T_s}{\partial t} = -\mathbf{V}_s \cdot \nabla_s^2 T_s + \frac{RT_s}{c_\rho} \left( \frac{\partial \ln p_s}{\partial t} + \mathbf{V}_s \cdot \nabla_\sigma \ln p_s \right) + \frac{Q}{c_\rho} + K_T \nabla_H^2 T,$$

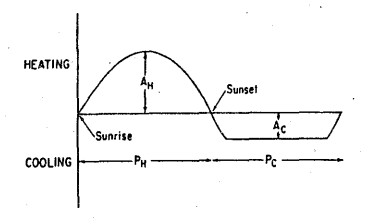
これは、地上気温は温度移流、気圧変化などによる断熱加熱、 非断熱加熱、水平拡散により変化することを示している。この 式を地形によるdeflectionが地上からH(2000m)までと 仮定し、気圧に関する項をTS,TH,TRを使って書き直すと

$$\begin{aligned} \frac{\partial T_s}{\partial t} &= -\mathbf{V}_s \cdot \nabla_\sigma T_s - (A_2/A_1) \mathbf{V}_s \cdot \nabla_\sigma T_H \\ &- (A_3/A_1) \mathbf{V}_s \cdot \nabla_\sigma T_R + Q/(A_1 c_p) + K_T A_1^{-1} \nabla_H^2 T \\ \text{where} \\ A_1 &= 1 - (\Gamma/\gamma_2)(1 - C_2) \\ A_2 &= \Gamma[C_1(\gamma_2^{-1} - \gamma^{-1}) - C_2 \gamma_2^{-1}] \\ A_3 &= \Gamma \gamma^{-1} (T_1/T_R) \end{aligned}$$

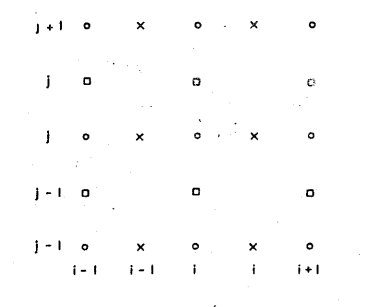


第1図

DIABATIC FORCING VARIATION



第2図

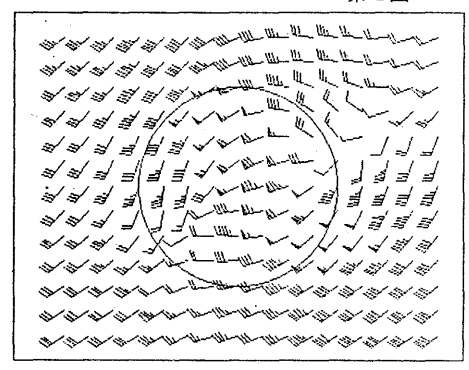


LEGEND: o T, z

× U

第3図

第4図



 $C_1 = T_s/T_H$ 

 $C_2 = T_s \ln C_1 / (\gamma_2 H)$ 

 $\Gamma = g/c_p$  (the dry adiabatic lapse rate).

#### となる.

非断熱加熱はまずこれを考慮せずに定常状態になるまで積分 した後、第2図に示す変化で与える.

reference level は850mbに考え,気温減率はレーウィン ゾンデ観測から求める.また,初期の風の場は気圧傾度力,コ リオリカ,摩擦力がバランスするように与える.

グリッドは第3図に示すように荒川'C' staggered を使い, 時間積分は modified 2nd order Adams Bashforth を用いる. また, グリッドの大きさは10km, タイムステップは180s を用いる.

気温の境界条件は流失境界で  $d\phi/dt=0$ となるように変化させ、流入境界で固定する.風は全ての境界で変化させる.そして、du/dt,dv/dtの平均が10 m/s以下になるまで積分を続ける.

3. 単純な地形によるテストラン

バラメーターによる風系の変化を見るために100ステップ(5時間)計算した中からいくつかの例を示す.

3.1 ベル状の山をおいた場合(第4図)

山の形はCOS関数を用いて直径80km高さ500mのベル状とした。a=0.5, K $\parallel$ =30000とし850mbで西の風5m/sを与えた場合で、山の回りを回る風が良く表現されているが、

山頂の風下の風速が大きい.

3.2 山を加熱した場合(第5図)

3.1で与えた山だけをAH=1℃とし5時間加熱した. a=0. 5, KH=20000としてある. 低気圧循環をしながら山頂に 収束し、山麓で3m/sの風速となっている.

3.3 山を冷却した場合(第6図)

a, KHは3.2と同じで,AC=-1  $\mathbb{C}$ とし5時間冷却してある。 山頂から高気圧循環をしながら発散し山麓で1.5m/sとなっている。

3.4 南北方向の海岸線があり陸を加熱した場合(第7図)

右半分が陸で,静穏の状態からAH=0.5℃として5時間積分する.海岸線付近で3m/sの北分を持った海風となる.

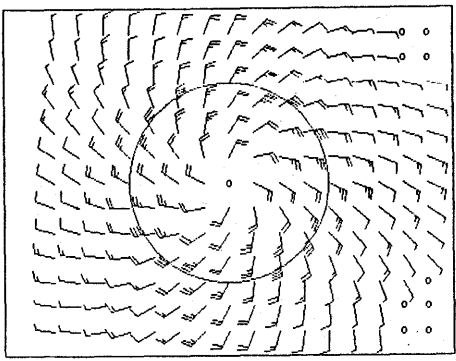
3.5 湾がある場合 (第8図)

幅60km<br/>
処行き40kmの<br/>
湾があり、<br/> a=0.5,<br/>
KH=300<br/> 00の場合である。

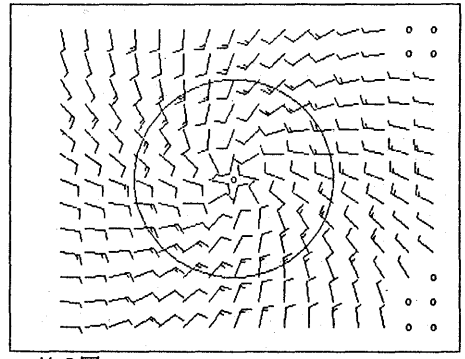
いずれにしても実際の地形に当てはめる時には, a や K II 等の バラメーターをうまく調節しなくてはならない. 今後は西日本 の地形を入れ,大雨時や瀬戸内特有の風の分布について調査する.

## 参考文献

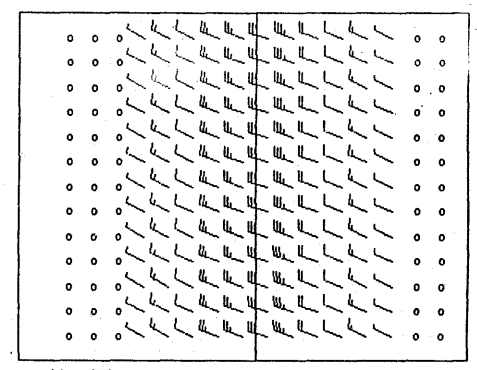
Mass, C.F. and David P. Dempsey, 1985: A one level, mesosca le model for diagnosing surface winds in mountainous and coastal regions: Mon. Wea. Rev. 113, 1211-1227



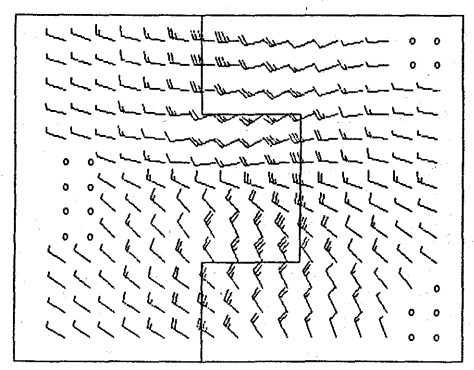
第5図



第6図



第7図



第8図

#### メッシュテ"ータを用いた地形因子解析 法による気象観測所の代表性について

大奈 健 (呉測候所)

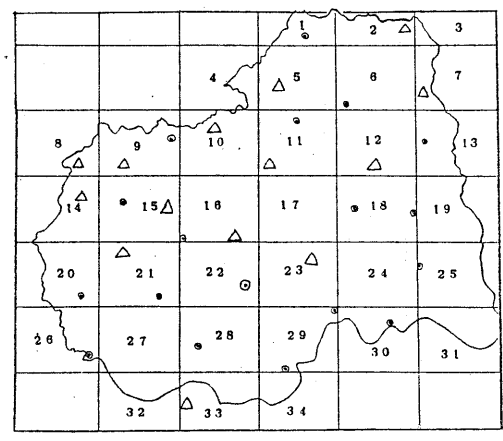
#### 1. はじめに

広島県の気象観測所は、32箇所 気象官署4箇所(航空含む),で気 温観測をしているのは32箇所中1 8 筒所で、気象官署は瀬戸内海沿岸 部に集中している。この数は、広島 県の面積が約8440Kmがから気 温視測所は約470k㎡に1箇所、 降水量観測所は約264 Kmに1箇 所の割合となる。第1図参照,図中 ◎印は気温, △印は降水盤観測所を 示す。これらから現観測所だけでど の程度の代表性があるのか又広島県 をどの程度カハ゛ーしているのか, さらに任意の地点の気象情報への要 望が高まりつつある今日, 各気象観 測所が代表できる範囲を設定してお く必要性がある。ここでは地形因子 解析により設定を試みた結果を報告 する。

#### 2. 代表範囲の基準

○気温の基準:1月,8月の日最高気温の月平均値,日最低気温の月

平均が比較地点と各視測所で(キーボイント) 4 項目とも0.5 ℃以内であること。



第1図 観測所配置図

#### ②降水量の基準

1年を4つの季節に分け(港 「 夏秋冬)各季節、2ヶ月づつ取 り合計8ヶ月の降水型を用い、「 キーホ゜イントの降水型をX、「 比較地点をYとし次式により計 第した絶対値がすべての月にを いて、0、1以内であること。

# $\frac{2(X-Y)}{X+Y}$

#### 3. 地形因子解析

気象要素が地形の影響を強く 受け分布する性質を利用して, 地形をいくつかの因子で表現し 気象要素と地形の関係を明らか にするものである。

今回用いた地形因子を第1表に 示す。この因子以外に緯度,経 度も使用した。

#### 4. 多変量解析

多変量解析とわ、相関のあるデ タの特徴を把握することに他なら ないが、ここでわステップ。ワイズ 回帰分析法を使用した。

ステップ<sup>®</sup> ワイズ回帰分析法は,回帰に対する寄与の最も大きい説明変数から一つずつ回帰式に取り入れ,前の段階で取り入れた説明変数が有意でなくなったときには,これを回帰式から取り除き,回帰式に取り入れるべく用意された説明変数が無く

第1表 地形因子

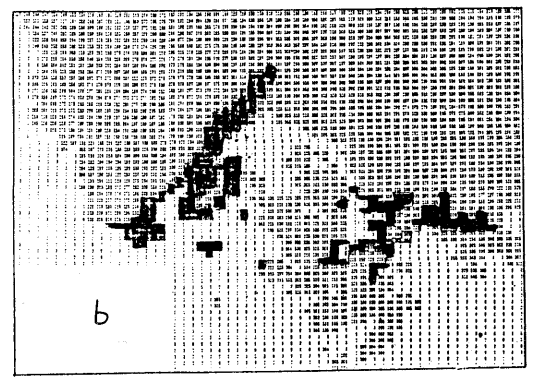
ا۲	テ`	・ータの	種類	内容
	泵	1	高	各3次メッシュを縦横4等分する方眼の16個の格子点で
-1				での標高値及び山頂の最高値
.1	平	均標	高	上記格子点,山頂の標高値の平均値
1	EZ.	高標	高	上記格子点と山頂の標高値の最高値
İ	暖	低標	高	上記格子点の標高値の最低値
1	起	伏	ff.	3 次メッシュごとの最高標高と最低標高の差
i	傾	斜	度	上記格子点を中心とした8方位の最大傾斜度
İ	谷	密	度	5万分の1地形図を10等分した区画ごとの区画を切る谷
1			ĺ	の総和・・・・・・・・・・・・・・・・・・・・・・・・・・・・・・・・・・・・
1	海	岸 距	離	1:日本海側か瀬戸内海側のどちらかの海岸線,最短距離
Ĺ				2:瀬戸内海の海岸線への最短距離

なり、または除去すべき説明変数が 無くなるまで繰り返し計算し、最終 的に有意な説明変数だけからなる重 回帰式を得るものである。今回広島 県の気温、降水量観測所の各、日最 馬、最低気温の月平均値及び月降水 量を、目的変数とし、各観測所の地 形因子(第1表参照)を説明変数と して広島県の各月の日最高、最低気 温、各月ごとの降水量気候値を推定 する重回帰式をもとめ、各1K㎡メ ッシュごとの地形因子から気温の 候値、降水量の気候値を計算した。

## 5. 観測所の代表性の設定方法 ①広島県を1 K m メッシュに区 辿する。キーホ。イントの気温の 日最高,最低月平均値,月降水量 平均値を算出する。

②キーホ。イントの平均値を目的 変数,地形因子を説明変数とした 重回帰式を作成し,各メッシュの 地形因子から,気温,降水量の気 候値を推定する。

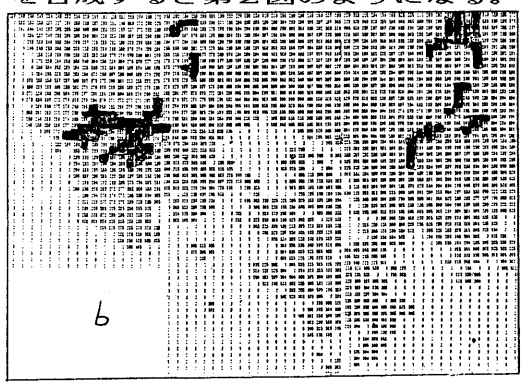
③出力された,推定値により, (2)で設定した基準によりキーボトント毎に合成していく。

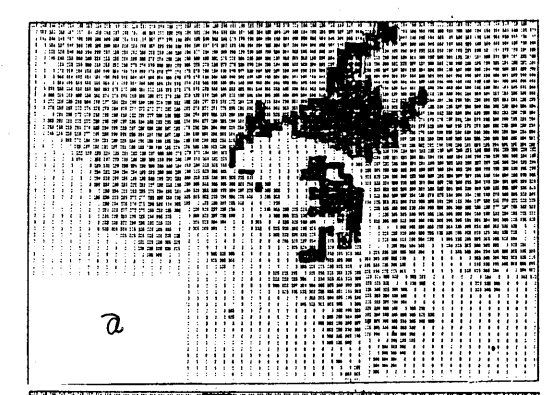


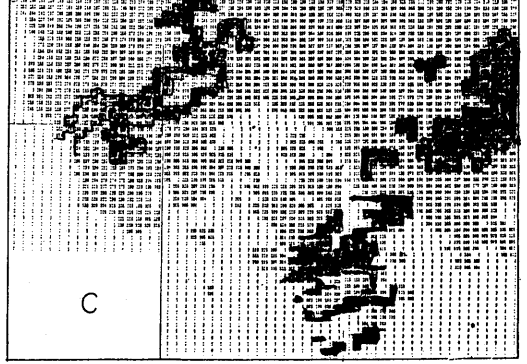
第2図 降水量合成図

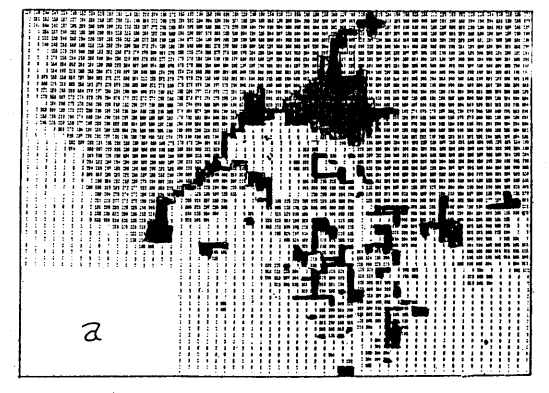
#### 6. 合成図の特徴

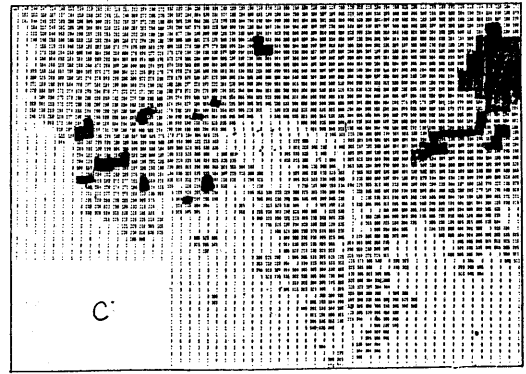
①第2図は、降水量の気候値の推定値の合成図である。 a =広島地方気象台、b =呉測候所・大竹、c = 佐伯・東広島・倉橋観測所であり3枚を合成すると第1図に示した区画番号20、21、22、26、27、28、29、32番の領域で、広島地方気象台を中心に東西南北約60 Kmにある6箇所の観測所が、気候値として降水量を十一次が1か月だけに着まるとではあるいりに対していた。すぎることではあるいりに対していた。すぎるとまずにのりたきいしかり、すべての月を合成すると第2図のようになる。











第3図 気温合成図

すなわち、影の部分が示すように離れたメッシュが、消えてまとまりのある合成図が出来上がる事となる。

②第3図は、日最高、最 低気温の気候値の推定値 である。a=広島地方気 象台. 吳測候所. 大竹観 測所, b=佐伯観測所, c=東広島観測所であり a 図は,瀬戸内海沿岸部 に位置している観測所で 合成された部分は、殆ど が沿岸部にある、さらに 広島地方気象台の合成範 囲は太田川ぞいに、北へ 延びている。呉測候所の 合成範囲は, すぐ北と東 に山、西と南には海があ り合成範囲はかなり狭い ものとなっている。東広 島と佐伯は、観測所から かなり離れた領域に合成 範囲を見いだす 事が出 きるこのことは,降水量

2枚をさらに合成すると 情報として広島地方気象 台を中心とした東西南北 60Kmの範囲のキーボイントが、代表する範囲 そことが出来ることが出来ることが出来る 週所の与えることが出来る である情報の領域をも示しているといえるである。

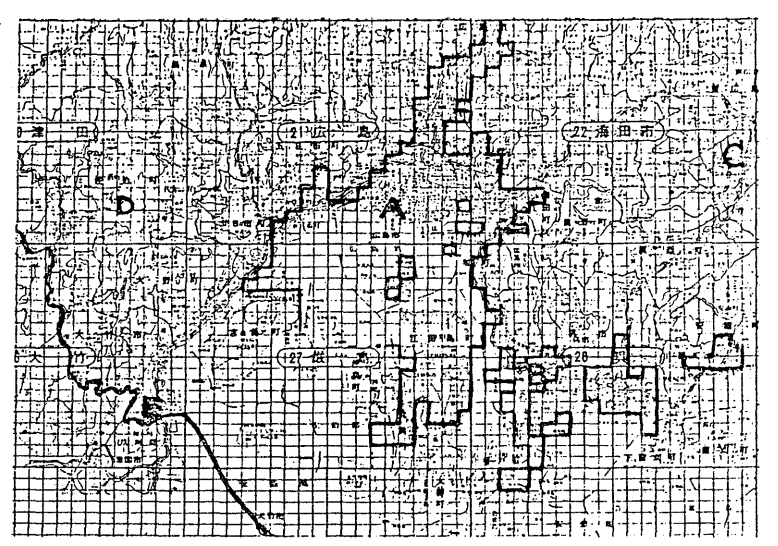
には見いだせなかった現

## 6. まとめ

象である。

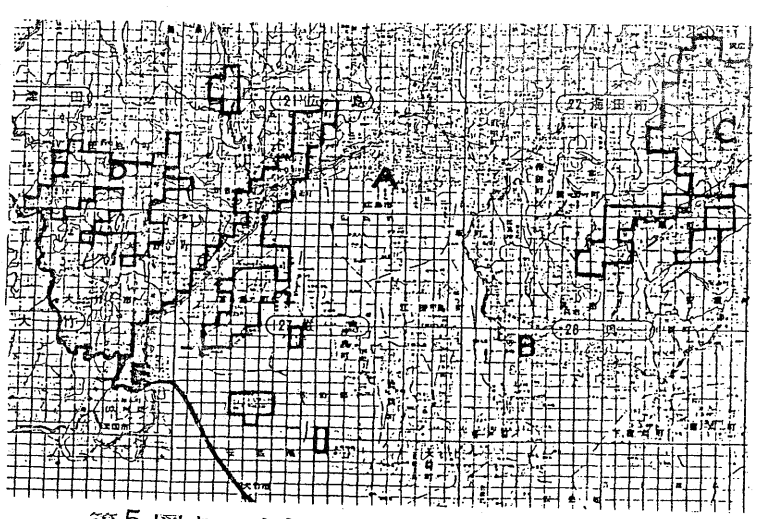
今回地形因子解析を用しい約1 Km メッシュ毎に 気温,降水銀の推定値を 気温,降水銀の推定値を 取めることにより,一定 の 数準を設定し,気象観 測所がどの領域までを第 要しているのか調査することができた。

出力された気温合成図,降水重合成図,気温降水 低合成図を用いて,社会の要望に対して,気象情報を提供していくことが出来るとともに,気候値として,ある地域に住む人間生活の環境の場の設定をすることも可能になる。例えば,冷暖房デグ



第4図キーホ。イント合成図(広島・呉) 7. 観測所の代表性の設定

第4図中A=広島地方気象台B=呉測候所を示しそれぞれA,Bをキーポイントとした降水量,気温の合成図(第2図,第3図)をまとめた図であり,第5図はC=東広島,D=佐伯E=大竹を示しそれぞれC,D,Eをキーポイントとした図である。



第5 図キーホ。イント合成図(佐伯,大竹, 東広島)

リチ"一等を算出する基礎資料ともなりうるであろう。さらに気象観測所の再配難。新たに気象観測所を設置する基礎資料としても、多くの情報を与えるものであろう。

# 気圧配置型による降水成分について

# 大原真由美(広島県環境セニター)

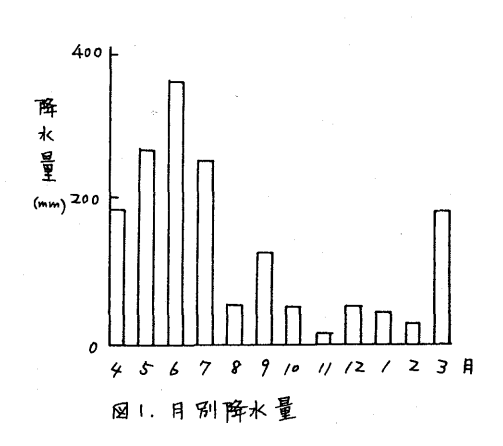
## 1. はじめに

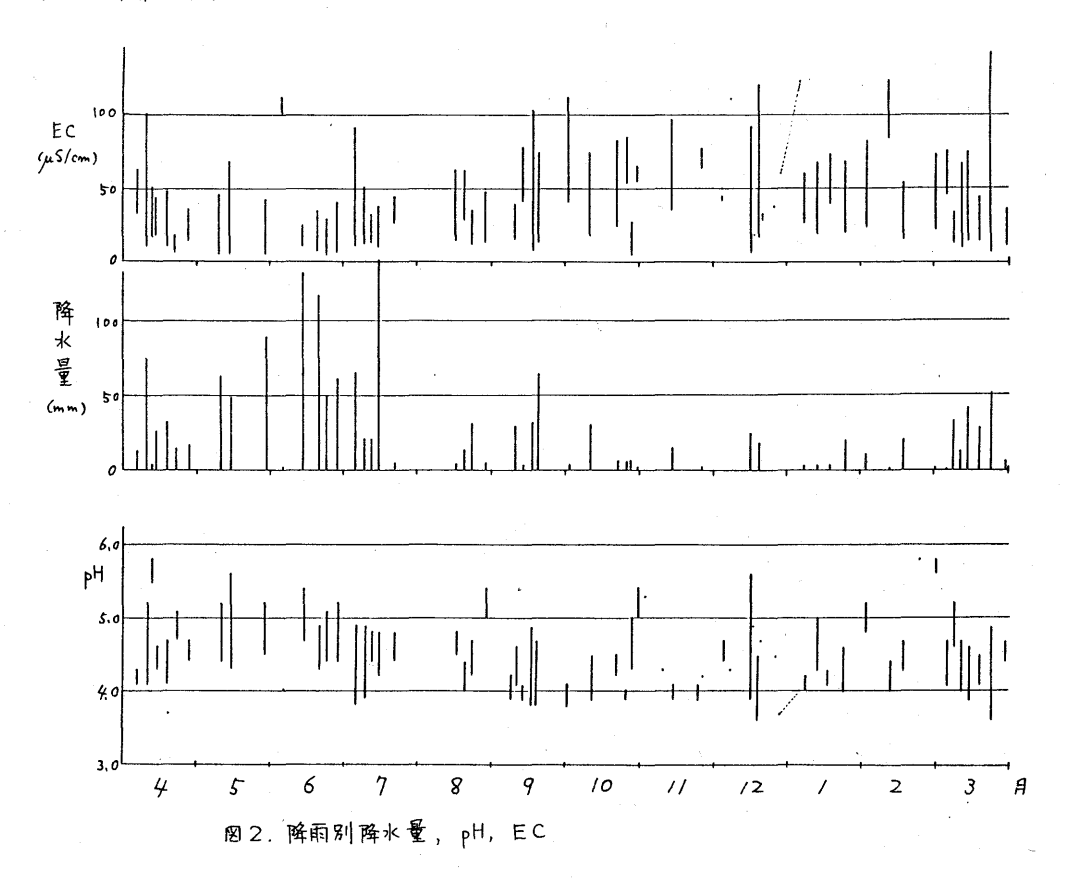
大気降下物×しての雨水は、欧米の生態系悪化、国内では、関東に始まった植物・人体の急性被害も契機として各種方面からの研究がなされてきたが、本格的な取り組みは始まったばかりである。 気象面からのアプローチも、まだほとんど手がっけられていない状態である。一方、環境サイドで

は、pH3以下の面は急性の人体・植物被害をもたらすと報告されており、光化学オキング・大なの情報を出す検討も行なわれている。 我々のところでは、現在まで pH3 以下の雨水は観測していないが、これに近い雨水もあり、気象条件などによっては、観測される可能性もある。今回は、気圧配置型による pHの虚いをある。

## 2. 調査方法

広島県庁屋上で、原面計もつけた雨水採取器(20mmまで1mm毎に分取)を用い、雨水を採取した。本解析は1986年4月~1987年3月のものも使用した。





## 3. 調查結果

- ①図-1 に月別解水量を示す。 6月が量的には最も多く、5~7月で年間降水量の半分を占める。
- ② 図 Z が、降雨毎の降水量、pH, EC である。一降雨毎の降水量、 4,5,6,7,3月に比較的少ない。 最イン 2月は比較的少ない。 最低 pHの低い時期をみると、9月~/2月 と3月に、pH4以下の雨が多い。 EC で特徴的なのは、一降雨雨り、 大半が 20/45/cm以下になるこれが く、いれゆる CO2 飽和水のpH 5.6 になる雨は、わずかである。

表1. 月別気圧配置理別1mm目のpH

				,	,				,	,		
<b>気圧配置型</b> 月	4	5-	6	7	8	9	10	11	/2	/	2	3
	4. Z	4.3	4,0		4. Z		3.8	3,9	3.9	4,3	4.8	5, 2
	5.5	4.7	5.3		4,2		4./	4.1	3,6	4,3	4.4	5.0
気圧の谷	4.4				5.4		4,3		4.5		4.5	4.0
X( 1= 41 \sqrt{\text{\tilde{\text{\tint{\text{\text{\text{\text{\text{\text{\text{\text{\text{\text{\text{\text{\text{\text{\text{\text{\text{\text{\tint{\text{\text{\tint{\text{\text{\text{\text{\text{\text{\text{\text{\text{\tint{\text{\text{\text{\text{\text{\text{\text{\text{\tint{\text{\text{\tint{\text{\text{\tint{\text{\tint{\text{\tint{\text{\tint{\tinit{\text{\tinit}\text{\text{\text{\tinit}\x{\tilit{\text{\tilit{\text{\tinit{\text{\text{\text{\text{\text{\tilit{\text{\tinit}\tilit{\text{\tilit{\text{\tilit{\text{\tilit{\text{\tilit{\text{\tilit{\text{\tilit{\text{\tilit{\text{\tilit{\tilit{\text{\tilit{\text{\tilit{\tilit{\tilit{\text{\tilit{\tiit}\tilit{\tilit{\tilit{\tilit{\tilit{\tilit{\tiit}\tilit{\tiit}\tilit{\tiit}\titit{\tilit{\tilit{\tiit}\tilit{\tiit}\tilit{\tiit}\tilit{\tiit}\tilit{\tilit{\tilit{\tiit}\tilit{\tii}\tilit{\tiitit{\tiit}\tiitit{\tiitit{\tiitit{\tiitit{\tiitit{\tiitit{\tiitit{\tiitit{	4.7								3.7			3.9
	4.7											4.4
												3.6
												4.6
移動性高気圧の	#./						4.5			4.3		
後面							3, 9					
为EO谷	4./	4,6	43									
停滞前線												
			4.4	3,8		<u>4,</u> 2						
停滞前線				4./		3,9						
יין אין אין אי				4.4		3,8						
				4,8		4, Z						
北高					4.8							
西高							5.4		4.7	4,3	5.8	
							-		4.7		5.6	
南高									-			47
移動性高気圧		4.6										
幕状高気圧							4.0					

降るのは、1mm 降るまでの経避時間が関与していた。 10~12月で依 pH雨となるのは、気圧の谷型の時で、それ以外の気圧配置す

10~12月で街 pH雨となるのは、気圧へ谷型の時で、3れ以外の気圧配置型では、比較的低pH雨になならないことがわかった。(末1)

## 4. 最後に

気象特性と雨水成分については、裏店の高さ、気流の履歴、気用の方向などと関連があると考えられ、現在、これらについても検討中である。

# 山陰地方の冬季面

# 森 広道(広島地方気象台)

#### 1、はじめに

昭和61年12月から昭和62年1月まで、鳥取県内では6日発電した。その内、アメダス10分間資料を"隨時報"で収集できたのは3例ある。ここでは界雷から寒気移流電へと変わった例として12月4日の事例解析を、主に発電に伴う地表の気温分布とどの時間変化、地表風による収束・発散の時間変化の面面から解析した。

その結果、4日6時順の界雷と、16時から18時にかけて下層渦から8Wに伸びるスパイラルエコーによる発電、そして22時頃の寒気移流・雪ェコーによる1発電とそれぞれに異なる特徴が得られた。

## 2 0 1、総観場

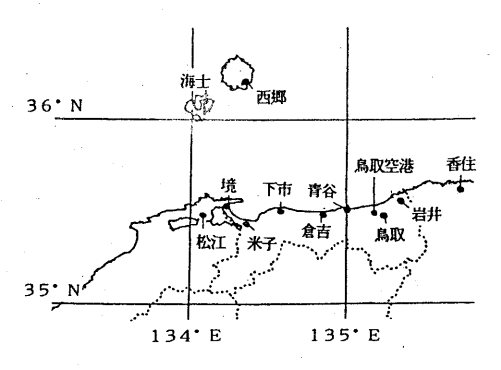
500MB、3日21時、黄海北部には一33°C以下の強い寒気があり、その前面でトラフは4日の位相が合い急速に深まっていった。トラフは4日の日中国地方を通り夜には関東の東へ1日約20°で東進した。対応する正捌は黄海にSE進したもの(109)が日中、中国地方を通り(102)、夜には関東のすぐ東海上へと扱けた(図2)。サーマル・トラフにサン遅れて通過したもようで4日9時よ350で27、7°Cを観測した。4日9時における50

OMBへの寒気の入り具合いは3日21時と比べて4、6°C下がったのに対して、700MBにあいては7、2°C下がリー14、1°Cを鰕測した。中層(700MB)への寒気の入り具合いが強い。

## 202、予想根拠と監視地点

上記の総観スケールでの予想は既に前日の段階で予想されていた。 CF 通過時の界雷については700MBW=0線も中国地方を南北に横切り、関東付近には上昇流の中心が東シナ海には強い下降流の中心がそれ





図し、アメダス監視地点

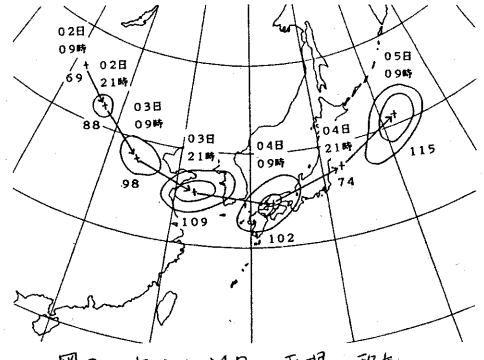


図2、500 MBの正腸の移動

どれ表現されていた。中国地方ではWか布のコントラストが大きく、雷、架風はどのシビヤー現象が予想できる。また、4日9時を予想したVFMでは比陸沖にあるムからは、地上のCFに対応するシャー・ラインとは別に、2次前線的はシヤー・ラインが山陰神へ予想ごれている。このシャー・ラインの通過後に寒気移流による雷を予想。鳥取ではD4時45分、強風・波浪・電雨注意報を発表した。

アメダス、隨時報"による監視地点(図소)については、冬季電は、海上からの顕熟・水蒸気の補給と上層寒気で著しく発達するが、顕熟・水蒸気の補給が断たれる陸上では対流活動が弱まり沿岸部に発電箇所が限定される特徴がある。このため図1のように地点を設定し、発電前級の様子をみた(図中の海土・松江・鳥取空港・看住以外の8地点)。

## 2の3、解析方法

発雷10月-ンを発雷時刻により3段階に分類した(早朝の発電・午後からの発電・夜間の発電)。AMEDAS Mesh限は、17kmメッシュのアメダス観測地点の限をU、Vのコンポーネントに分解し荷電平均内推法により10kmメッシュの格子点上で風を推定したもの。

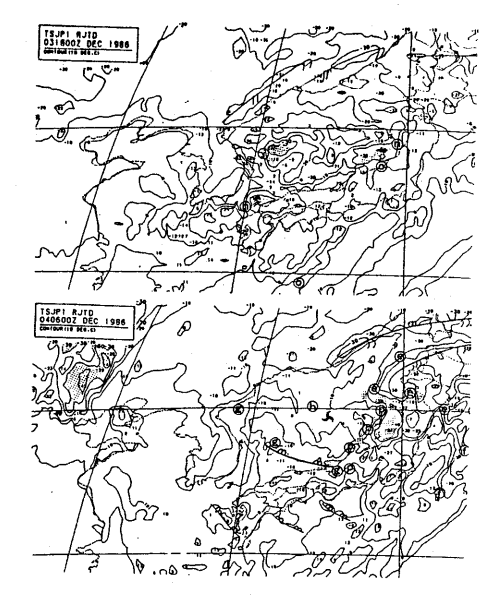


图3. TBB分布图 (上図は4日3時・下図は4日15時)

渦度・発散の前|時向偏差図では、 | O k m x ッシュに内挿された各やイント上における渦度・

発散量の時向変化をみた。地形的は特異性を消し、地表風の渦度、発散の効果をみるため各成のイントにわける前1時向偏差を求めた。図には沿岸部に一番近い1別(東西方向)を示す。単位はどちらも10~5/SCC、プラスは正渦度・発散を、マイナスは負温度・収束を示す。

各治岸監視地点における気温の前10分向偏差図では、小土はじょう乱の通過をみた。前10分間値にはバマ昇温したヒニカは実線で降温したヒニカは点線で示した(それぞれの線は土0.3、土0.5、土1.0° C以上を示す)。

個度、発散の10分向変化図は3地点の地上風旬・風速からバラミーの手法により渦度・発散を求めたもの。一般場からの変化は考慮せずし0分値をそのまま使用した。又、正3角形となるでイントは地形的に無理なため図中の3地点を組み合わせて下市沖(面部)と青谷沖(東部)の様子をみた。単位などは渦度発散の前1時旬編差図に同じ。

その他にレーダー合成図・SDVS等を組み合わせて以下のように解析した。

#### 3の1、早朝の発電

3時、SDUSでは黄海に寒気移流園あり日本海中部にも、地上ム対応のフックセンスを持つまとまった雲域がある。このまとまった電域は、今後、上層寒気の流入により、更に活発化することが予想された。C下対応の雲域の北端も、山陰神から山口県神を通り朝鮮半島南部へ伸びる。6時には、日本海北西部に下層の電渦が発生し、C下対応の電域の北端は、山陰沿岸から北九州沿岸の線まで南下した。日本海の下層洞は上層寒気が抜ける4日18時頃まで存在。9時にはC下対応の電域は中国地方を通過し、また、黄海の寒気移流園の位置はヤヤ南下した。そして、日本海西部には新たに寒気移流園が存在するようになる。この寒気移流園(筋状園)は、5日3時まで日本海面部に存在した(図3)。

アメダス・レーダー合成図では、CF対応の電域は4時、面郷の東約100kmからSWに島根半島面部へ伸びる。5時には鳥取沖からSWに詹吉沖へほぼ東進し、6時には、それまでNE~SWのエコーパターンがENE~WSW方向となり鳥取県沿岸にラインエコーが認められる。STGエコーは倉吉沖にありその他のエコーはWK。

CF俑臅に対応して、米子では5時53分から6時25分までSW方向で、境では6時02分、

南方向でとれぞれ強度「1」a 雷 鳴を観測した。一方鳥取がほそれ に少し遅れてら時23分から7時 20分まで北方何で雷鳴を觀測。 **隣雨は、企県的にしゅう雨が降っ** たり止んだりしており、沿岸部a 米子・境・下市では、1mm/h 程度の雨(7時)とはっていた。 下層渦に近い西郷では、昨日かち 雷が断練的に続いており、 6 時2 5分からほ氷アラレも混いる天気 とはった。7時23分には強度「 1」 a 電鳴を観測し、 低雨の降る なか雪マラレも混じり8時50分 には直径1.3cmのひょう左2 分間観測した。その後も、俄国と 秋アラレα混いる天気であった。 定時a マメダスメッシュ風(図4

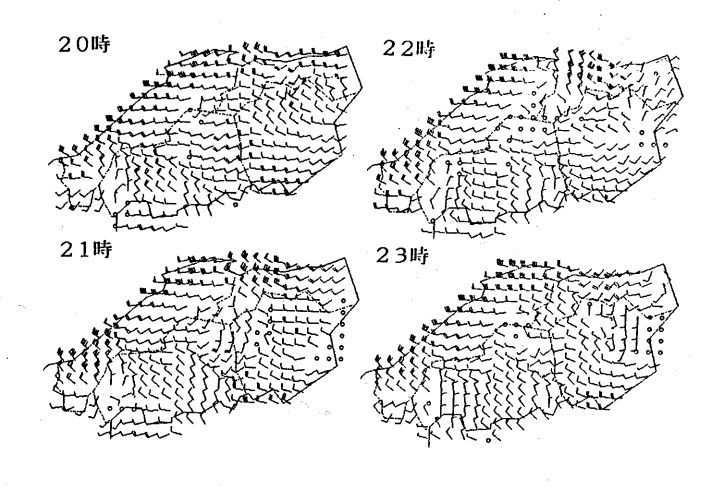


図4、アメダス·メッシュ風(夜雨)

)と福度・発散の前1時间偏差(図5)で1時間ストールの場を捕らえ気温の前10分向偏差(図7)と3地点による温度・発散の10分向変化(図6)でエコーセルの振る際いを見たの以下の図は紙面の関係で返向の発電に関係する図のみを示す。

これまでの調査では、温度・発散の前!時向偏差図に見られる"発電10ターン"は、負温から正 潤へ向かう場あるいは正掲場において、発散から収束へ何かう過程・地域でCBの発達や発電に繋がる。この期间、渦度・発散前1時間偏差図に見られた発電10ターンは、島根半島から鳥取県東部

へ2つの波が順調に追跡できる。 1つは、2時 に島根半島にあったものがら時に島取県東部へ、 もうしつは、5時に島根半島にあったものがり 時に馬取県東部へ入っている。2つ目の波に対 応して発電したかけだが、アメダス・メッシュ 園には沿岸部にCF対応のラインエコーがあり 3W~WSW園で一定している。澗度、発散a 10日间変化で見ると、馬取県東部(西郷・下 市・岩井;以後東部)、鳥取県面部(西郷・境 ・青后:以後西部)ともに収束場玄形成してお り東部ほど強い。 温度では発電前は面部で負温 **護場・東部で弱いが正揚度・負掲度 a 変動をし** ている。発動に対応して東部、西部ともに正猧 度に変わり、終電とともに負鴉度へ変わってい る。終電後は変動が大きいが、東部ほどとの振 嘘は大きい。発散についても、発雷前は、 収束 場の下れを逆位相に変動しているが発電から終 習まで収束場のなかを同位相で変動し、その绞 逆位相となる。気温の10分均偏差では、上昇 降下は周期的・短時向(10~20分)に変化 している。気温降下域ラインを小さな対流セル の通過と考えると、早朝から数本のセルが沿岸 に入ってきている。 6時頃の発電は、大きな気 温降下量(一1、0°C)を件はい面から東へ 移動している。この大きな気温降下線を主うイ ンとするとその20~3c分前にも別の降下う

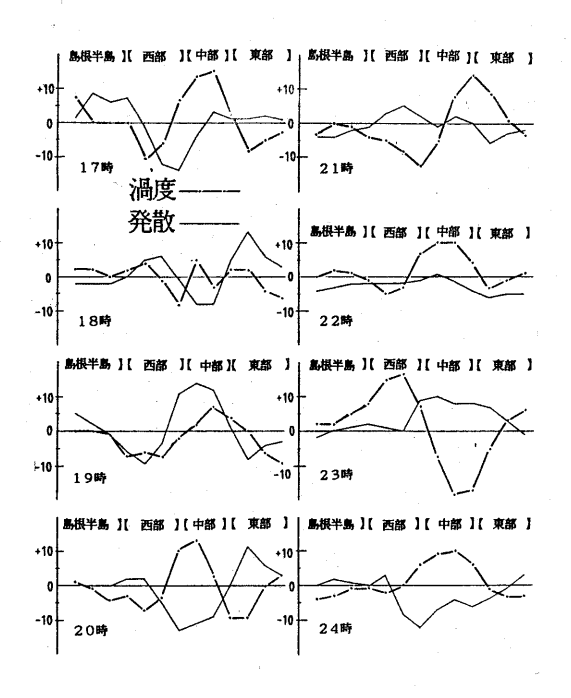


図5、福度・発散前 | 時间編差図(夜向) 十:ム性福・発散 一:日性福・収束 沿岸部に | 备近い第 | 別(東面方向)を示す。 学位は | 0 - 5 / S

インが面から東へ追跡できる。米子・境では主ラインに添って、鳥取では、その前の降下ラインに添い発電している。各地での終電は、主ラインに続く等一の、2の線に添っている。終電後は、面から東という偏差場は一時的に崩れる。

# 302、午後a発雷

12時、SDVSでは、CF通温後、日本海には電渦があり、寒気移流電は朝鮮中島東岸から間に神代る。黄海の寒気移流電は中や弱まり、日本海面部の寒気移流電は、下層等気が振りは、日本海北部のCold Low対応の電漏は市は、日本海北部のCold Low対応の電漏は中かっくり東進し、日本海側では元山神から山陰東部を経て、北陸へ伸びる収束電別が顕在化した(図3)。レーゲー合成図では、エコーはなりがメルが大のエコーはない。

○下通過後、冬型気圧配置の強するなか境では しら時29分から17時50分までW方向で、米子でも16時30分から18時10分までN分 何で雷鳴を観測した。それに先き立ち鳥取では1 3時52分と15時30分にN方何で破疫「1」 ▲1発電を観測している。境でも10時26分か

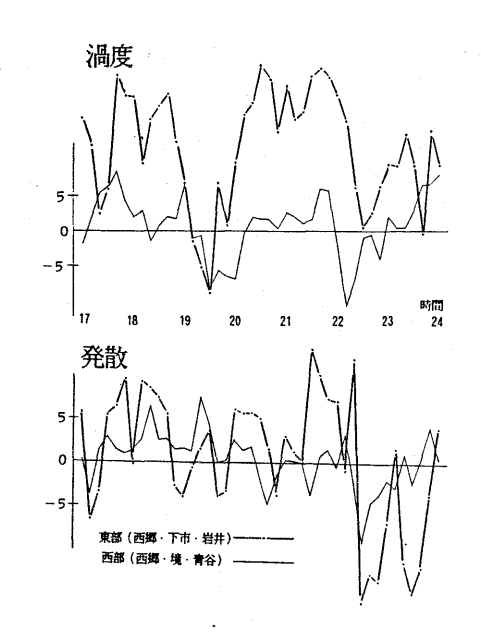


図 6、 3地点による温度・発散の 10 1分向 変化 (·阪向) 十: L 性報・発散 一: H 性禍・収束 単位は 10 ~ 5/s

下10時34分までN方向で強度「1」の電鳴を観測した。 谷地とも発電し同時に做用に秋アラレが混じり始め、 治岸部を中心に時间5~9mmの 再量となる。 面郷では 電は観測していないが做用に 氷アラレの混じる天気となっている。

この期间、温度・発散前1時间偏差図に見られる発雷 19ターンは、16時30分頃の爲取県面部での発電以外 は早朝の雷になべるとシャープ性はなくなり、移動の追 跡も難かしい。10時には、馬取県西部には弱い発電に ターン(正稠の振幅が小さい)が見られるが、爲取での 2度の一発電については、発電10ターンは見られず、む レる逆の10ターンとなっている。発電時a定時アメダス ・メッシュ風には、共通して島根半島から鳥取県中部へ かけてム性曲率・爲取県東部では、H性曲率の場となっ ている。福度・発散の10分値は発電前後は苄通して面 部と東部で逆位相に変化している。鳥取県面部での発電 は、面部で発散から収束へ何かう時、負稿から正漏入何 かう時が対応している。鳥取県東部でa 一発雷は、東部 で正調度のなかを極りへ何かう時、発散のセークで展園 (13時52分)しており、又、正福度の極大時に収束 から発散へ何かう時(15時30分)に発電している。 気温の10分向偏差では、CF通過後、各地ヒも9時か らしら時にかけて日射があり気温の変動が大きい。早朝 **の発電後、一時的に気温偏差に見られた面から東という** 1017-ンは崩れたが日射と同時に気温上昇・降下ライン は再び順調に追跡できる。ここでの発電は、おおむね間

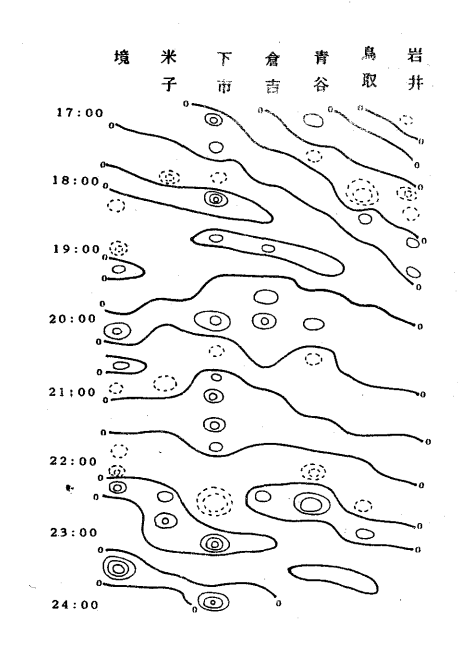


図17、 気温の 10分 間偏差図(夜間) 大車線は0を、東線は昇温、点線は降温域を示す。(±0、3 ±0、5、±1、0° c以上)

囲で小さは低極の時、発電地域では高極とはり発電している。発電後は、大きは気温降下(一1. 5°C前後)とはる。ただ、鳥取県東部での一発電は、周囲の低極が大きく目につく。

## 3の3、夜旬の発雷

SDVSでは鳥取県沿岸部には寒気称流電おり、レーダー合成図にも弱いwkカラスのエコーが沿岸に渦を巻くような形で数本存在レていた。鳥取では21時40分NV方向で強度「1」の一発電を観測し、22時3mm・23時10mmの再量を観測。西郷でも20時50分W方向で電光を、として22時12分にはNE方向で強度「1」の電鳴を観測した。各地とも做雨に氷マラレの混じる天気が続いていた。

アメダス・メッシュ風には、20時から22時にかけて鳥取県面部から中部にかけて強い人性曲率がある(図4)。これらば沿岸部に下層調が存在していることを示している。渦度・発散前1時間偏差図(図5)では、20時鳥取県面部から中部入かけて発電パターンが見られるが21時には鳥取県東部にわずかに残るのみで22時には崩れる。これを渦度・発散の10分度化でみると(図b)、渦度では発電前後面部・凍部ともに同位相で废化してわり正漏の極大が発電に対応している。そのには逆位相のパターンが見られ、東部では発散のピークから収束に何かう時、面部で収束から発散へ何かう時に発電している。発電後は東面部とも振幅の大きい収束場を形成している。これを気温の10分間偏差で見ると、それまで短周期で面から東へ移動していたパターンの京東面に同位相で変化するパターンに近ずき、偏差0で発電したのよれまでの周囲で位極がそろう時高極で発電するパターンは見らればい。そして、周辺との温度傾度は小工い。とこで鳥取を基準にして、それぞれ青行・鳥取空港・岩井との気温差を求めると、3地点ともプラスの極(鳥取の方が気温が高い)に位相が合う時が発電に対応している。

# 4、 秃臀、

山陰地方の冬季雷は大雪の降る時の前北現象として発雷することもおり古くから「雪起ニし」と

呼ばれてきた。大摩の条件としては、寒冷渦、季節風、メソじょう乱、気圧の后線、風の不連続線等が密接に関係し合っている。総触場では、冬季雷は作用中心のVortex centerが中国東北区に及り、これにまれり込む正渦に対応して日本海でムが発達し、このムの通過時に雷を伴ばう。ちのひかりでは正掲の中心よりやや西、ワののかの下降流の中心前面の寒気移流の最も活発なところで発電している。この段階での発電は、はっきりとした温度、発散前1時間偏差に見られる、発電パターンのがか、大きな気温降下を伴ばっており、収束場のなかの小さな収束のピークで発電している。

この人の通過後、強い寒気の流入すばれてVortex centerが日本海北部に南下し強い寒気移流場とばるが、この時点で寒気移流気塊雷が発生している。この時、主要前線帯背後の全くの寒気困中には、前線構造の不明瞭はスケールが1000km程度の小さはトラフが下層に飛びされる(VFMにうまく表現される)。ここでの発電は、一発電以外は、温度・発散前1時間偏差には弱いが発電1ペターンがあり、10分旬気温偏差の高温域にあたっている。高温域の両隣は低極とだり、その高極に10分旬隔でみた掲度の①のピークと小さは収束のピークが一致する時が対応している。一発電についても正調度の極大・収束のピークという発電1ペターンに製わりはないが対応する高極とは少しずれるし、温度、発散前1時旬偏差による発電1ペターンは見られない。

鳥取県は東面に細長く、アメダス地点も治岸部に集中しているため、気温の追跡は割合いしやすい。しかし、一発電については、海上にCBA中心があり、発達・衰弱が激しいためどの北候はなかなか稱えにくい。ただ、レーダーでは雪電に変化が見られる。最初はランダムに散在していたものが決質にているうい状になり最後はうず状入と変わっている。スペイラル状からうず状入の変化に対応して気温偏差も面から東へのやターンから治岸部一帯がほぼ同位相で変化するようになる。

今後は、海上の雪エコーの動きを中心に、沿岸部での特徴を見い出していきたいと思う。

# 1987年9月10日の発電

# 森 広道(広島地方気象台)

## 1. ほじめに

広島県佐伯町(佐伯地域気象観測所)で9月11日末明、広島県観測史上最高の1時间雨量87mm(2時から3時にかけて)を観測した。又、3時間雨量でも196mmという局地的集中豪雨であった。この時、広島レーダーを見ていた感想は、強いエコー(STG~MOD)もなく、誰かが19ブラをしているのではないかというのが率直な印象で、今でも1時間87mm(3時间19

が A ダブをしているのではないかという 6 mm)という雨量がビウレて記録されたのか不思議でならない。この事例は今後、詳細な解析が行なれれると思うが、ここでは熱電調査のため 1 0日1 | 時30分より 1 G時までアメダス 随時報で監視していた時に捕えた広島県西部の雷について報告したい。

# 2、 総鰕場の特徴

昨日(9月9日)も同じ時向帯を" 隨時報"で監視していた。総観場に見られた違いは、10日は、東から下層には湿りが、上層には寒気が入り、不安定な場に変わっていたこと。SDUSでは、9日の対流額

は、関東地方と近畿の南、日本の東海上にあるが、10日には、サブ・ハイの西進により、四国、近畿、関東中部の線まで北上。台風14号も、台湾の南にあったものが、中国大陸に上陸し、弱まっていた。

日本海中部のSUb・JE十二対応する 園バンド(前線バッド)は、南北の変化は ほとんどはく停滞し、大陸の台風14号の 榎域につながっていた(図1)。 その軽バ ンドの南側は、前線と日射により対流不安 定は場となり、西日本では安定度が非常に 悪い。日e345° K以上のエリヤを見て も、サブ・ハイの強まりと同時に、9日2 1時から10日21時にかけて、その先端 は日本の南から近畿付近にあったものが、 黄海から九州付近へNEへ伸びる型をとり、 中国、四国地方はその先端部にあたってい た。VFMはその10ターンをうまく表現し ており、九州のSW海上から中国地方へか けて高日とが入ってくる場を予想していた (図2)。安定度(SSI)は、10日9 時呆子一O、7、21時福岡一3、OL不 安定度が強い。高層断面図を見ても鉛直不 守足が強い.

# 3、解析

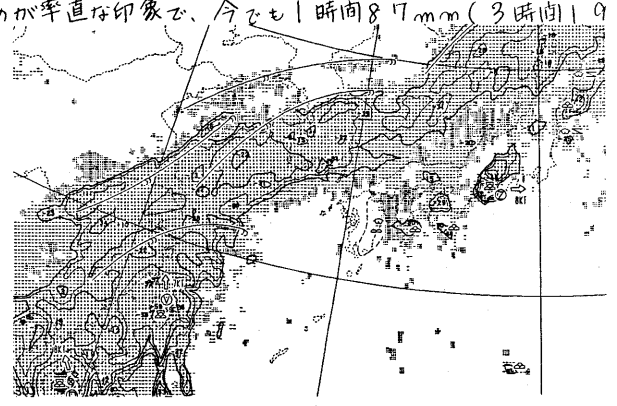


図1.10日9時の雲情報図

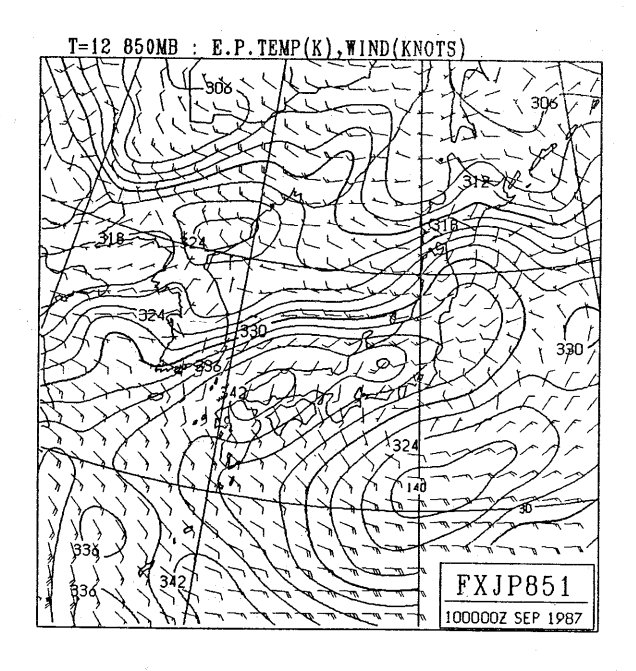


図2、10日21時な予想したVFM:日本海中部には、順圧帯がおり、その南側にあたる九州・中国地かへは、九州のSW海上から高田。が流入している。

工団酸のは、いるものでは、いるものは、いるものは、いるは、いるものは、いるのでは、いるに側ののとは、いるに側ののとは、いるのでは、いるに側では、いるのでは、いるでは、いるのでは、いるでは、いるのでは、いるでは、いるのでは、いるのでは、いるのでは、い

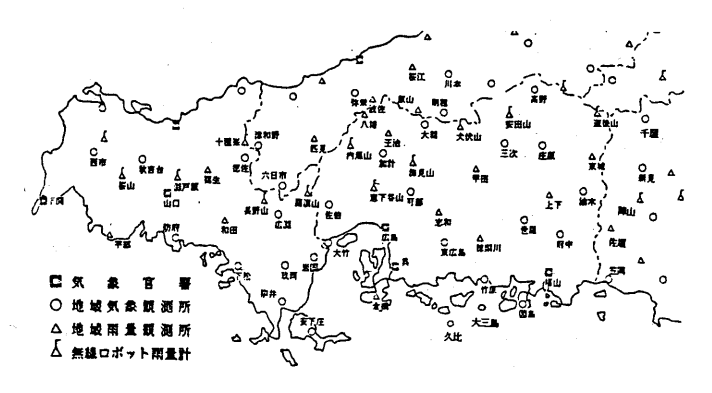


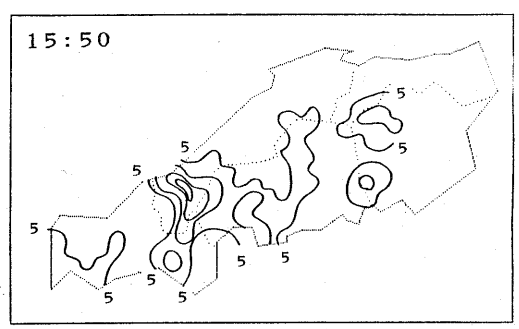
図3、アメダス監視地点

広島(気象台)では、まず16時36分すぐ南で雅度「1」の電鳴を、又、気象台から西へ約1 ト畑離れた広島坚港でも同時刻に真上で電鳴を観測した。その後、広島市周辺で、ライハ、の入電が続き、時に16時40分には、ほぼ気象台の真上で雅度「2」の電鳴を観測、村近では落雷があったもよう。これ様子を気象台と空港の自記紙で見ると、気象台では、16時20分より弱い雨が降り出し、16時35分には、降雨雅度100mm/ h以上となる。その抗態がほぼ10分向協・17時10分には、別の電響による雷鳴を観測した。その間の総雨量は10mm。気温降下量は、15時20分から30分までが大きく、3°C下降しているが、その時目立った気圧上昇は見られない。風間変化は、16時にN1yの風が8日風に変わり、発電後、NW風に変わっているが10m/S以上の時はない。空港では16時35分と、17時20分に降雨強度100mm/h以上を

記録している。その向の総申量は40mm。16時30分から40分にかけては、1mりの気圧上昇と、3°Cの気温降下を件なう。風向変化は気象台と同じだが尺/W21には、16時40分と、17時30分に15m/S以上の瞬間関連を記録している。ここでは、この時の冒について述べる。

#### 3 n 1、 監視記録

9日は、山地沿いにCUが点在レスおり、C Bまで発達してくれることを期待したが監視期 肉を通して発達するものは見られなかった。1 O日は、12時30分、全体的にCUに襲われ ているがS~SE方向には、CU Baseが黒く なりかけた発達したCUがある。 その上には Ciがあり、視程は昨日と比べるとかなり悪い。 13時52分の広島レーダーでは、広島県中部 a対流エコーは、山口・島根県境aエコーに比 べると小規模だが、その中には強度32~64 mm/hの強エコーが含まれている。14時1 5分にかけてほぼ同じ位置で停滞しているが、 山口県のエコーに発達が見られる。13時ち3 か、山口で弱雷を観測した。広島でも14時4 O分頃より窓がラスに弱い雨がつきだす。 尚、 呉測條阶では、15時すざNNE方向にはCB になりかけた発達中aCUを観測している。1



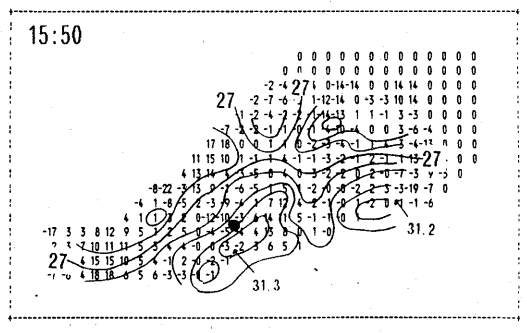
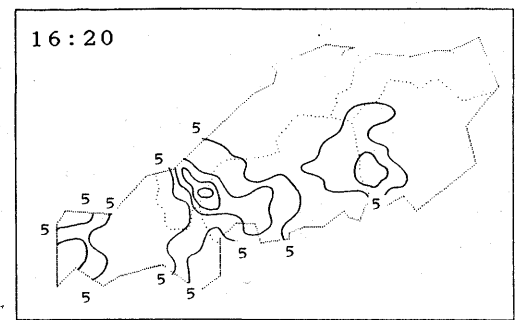


図4-1.UR乗量(5×10-5/5以上のエリヤ:上図)と気温(実線)とうが度分が図(プラス:ムルラボ・マルナス:H14ドラボ,下図)(15時50分) 黒れば広島がイントを示す。

ら時前よりS方何には発達したCBが認められ、そのBaseはして時まりも黒く広範囲に見える。との上はCiが全天を覆ってわり、規程だのアメが揃えに再量は、15時12分・神をでしている。15時41分らかけてはタチェが見る。15時41分らかけてはタチェが長初になる。16時36分最初に広路を開入している。16時36分最初になる。16時36分最初になる。16時36分最初になる。16時36分最初になる。16時36分最初になる。16時36分最初になる。16時36分最初になる。16時36分最初になる。16時36分最初になる。16時36分最初になる。16時36分最初になる。16時36分最初になる。16時36分最初になる。16時36分別による。16時36分別による。16時36分別による。16時36分別による。16時36分別による。16時36分別による。16時36分別による。16時36分別による。16時36分別による。16時36分別による。16時36分別による。16時36分別による。16時36分別による。16年36分別による。16年36分別には、16年36分別には、16年36分別には、16年36分別には、16年36分別の日間にはは、16年36分別の日間にはは16年36分別の日間にはは16年36分別の日間には16年36分別の日間には16年36分別の日間には16年36分別の日間には16年36分別の日間には16年36分別の日間には16年36分別の日間には16年36分別の日間には16年36分別の日間には16年36分別の日間には16年36分別の日間には16年36分別の日間には16年36分別の日間には16年36分別の日間には16年36分別の日は16年36分別の日間には16年36分別の日間には16年36分別

3の2. アメダス10分値解析

温城が川本・ 可部・ 広島の ラインに見られる。 との傾然は Nへ N N E。 をして、 この高温域ラインを取り 囲むように その両側では 降れによる 位場域が形成されておりとの N の アーンは持続し に。 発電中は、 広島県南部と N E部の高温域し 持続するが広島市付近が惟起となり南北東面の 温度鰻度を増す。 発電袋は、全体的に温度順度 は緩むが特に N E部での高温域の解消に特徴が 見られた。



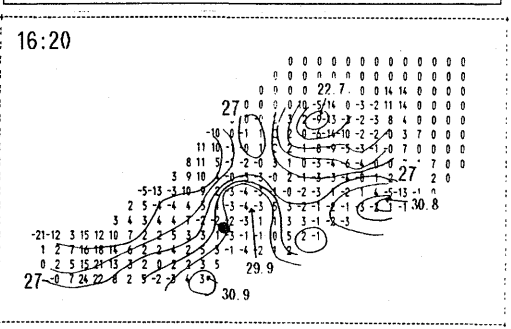
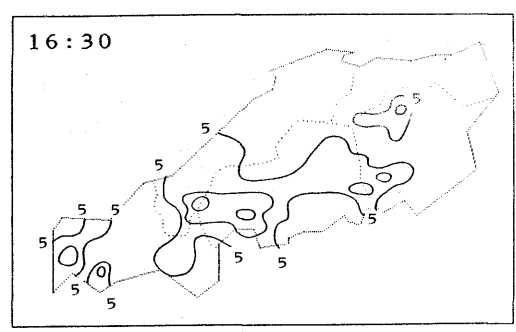


図4-2.(16時20分)



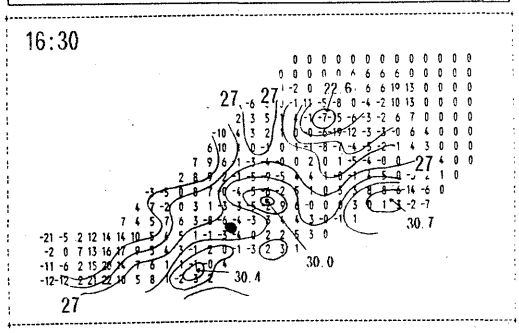


图4-3、(16時30分)

# 4. 芳察

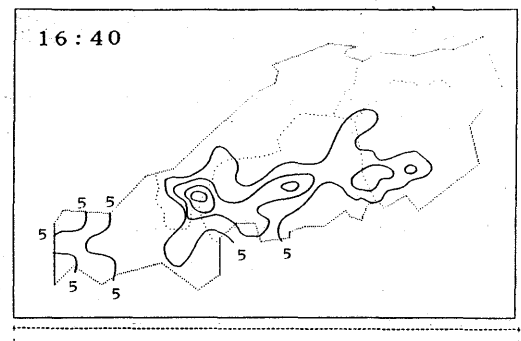
これまでに述べてきたように面日本は、対流 下守定な場にあった。今回の電雲を周辺の降雨 雅度(100mm/h以上)で見ると雷雲セル が次々に発生してわり、間雲全体は、見かけ上 停滞かNWNゆっくり移動しているように見え る。雷雲が長時间持続(18昨40分まで)す るには下層から中層へかけて独特は風の鉛直シ マーが心要であるが、当日の米子・稲岡上空の エマグラムには、700mbょり下層ではNE ~巨風、それより上層ではSW風が入っており 餡直不安定が強い。又、地上付近の一般風は雷 雲セルを推挤するためのエネルギー源となるが、 今回の場合、発雷前の強い収束ラインは、島根 県面部にあるが、広島市付近には、高温・多湿 はSE風(笠岡・久江・県・大竹のライン)と SW風(下枢)が合流している10ターンの持続 があり、また広島市のNE部にも高温、多温な NEへN風による合流域が形成されていた。と の時のうが度分布は、広島市付近を中心にNE かららwにはけ性うず度場とばり、そのけ性う が度の両隣では、ム性うが度場を形成していた**。** 発雷前の10ターンヒして注目する価値があるよ うに思える。

発電時の強い収束ラインは 島根県西部から広

島県中部の線を東面に横にわる形で南北振動を緑り返す。シャーラインの南側にみにられた広島に近は、降水による低温、NE園による高温がは大いるには、京の園が近との向に温度順度を発出した。市場では、京島市のNE部にて、東側でしたする直路であるのNE部についてみると、な電域であるが次第にしたです。高温域となっている。

終電は、強い収束ラインが崩れ、発散域とな

る時に対応している。広島市NE部の高温域の解消と温度傾度が小さくなる時にも対応するが広島 市南部の南風による高温・多湿は空気は持続する。うず度では発電前と同じように弱いH惟うず場とはりNEからSWの走向に戻る。終電後4時間して再度電電活動が広島市仔近で活発となり続いて低的での記録的な豪雨となった。



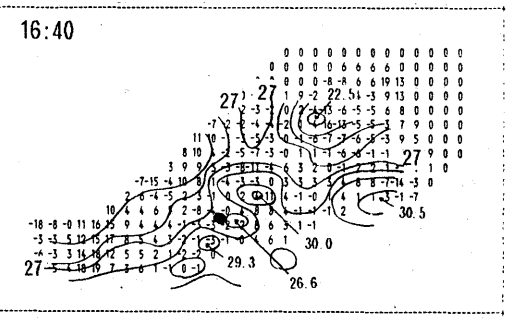
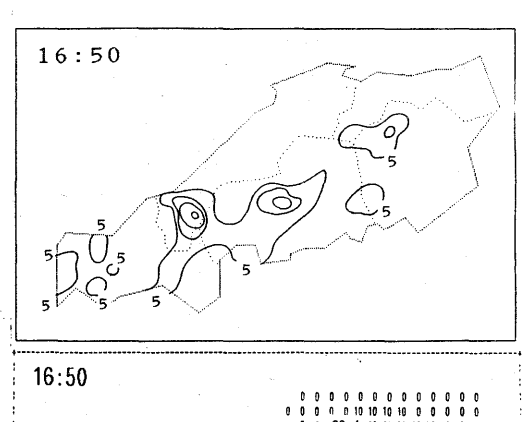


图4-4、(16時40分)



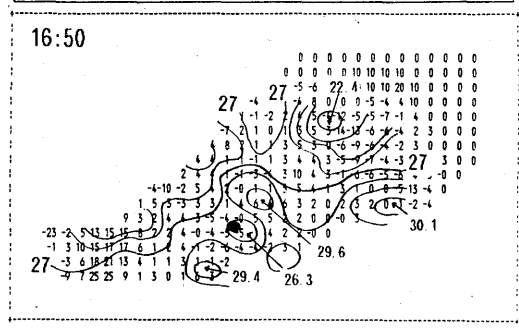


図4-5、(16時50分)

# 三次市における霧の特別観測 (その4)

中国山地の霧研究グループ 男田賢二,近藤和美,真木佳代子 (広島女子大) 森広道,西津正明,羽原健司 (広島地方気象台)

# 1. まえがき

昨年は盆地中心部に霧を送り込んでいるとみられて川筋都で、霧と気象の観測を折った。その結果、川筋部でも霧は上空から形成されることや大気の釣道分布などの点で盆地中心部とよく似ているという結果が得られた。しかし、見通しの効く高所の観測場所が得るれなか。たこともおり、川筋部の霧の形成過程については十分な調査ができなが、た。また川筋部から盆地中心部への霧の粉動についても調べていない。

そこで今回は、(1) 盆地中心部と川筋部におけ了霧の形成過程と気象状態の比較、(2) 川筋部からの霧の釣動、の2点を至に調査することも目的として観測を行った。

#### 2. 觀測方法

観測は1997年10月8日から10日にかけて2夜行、た。期間中、粉動性高気圧におおわれ、一時的に繋が出すことはお、たが全般に好天に熟まれ、2夜とも濃い霧が発生した。

観測は図1に示すように、金地中心部と北面の方向にの状了神り瀬川、南野川沿いの地域を対象にして行、た。観測地点は北かる布野川沿いの川前部のA点(布野小学校、海抜約2/m)、ここを見分了すB点(縄谷山、約45m)、神り瀬川が紅ノ川に合流するC点(二次石小学校(通紅BF)、約1/6元)、そしてA、B、C地点を見通すとともにお街地さるにも街地の東部、西部も広く見渡せるO地点(高谷山、劉5mm)のタケ所である。

観測な法は、霧の観測にコいては目視かよが早真撮影によって霧の3次元的な構造の時間的力変

化を調べた。 気象観測は風句・風速・風温・湿度の地上観測と、雲墨・天気について灯,た。 日下(C地点)では、神ノ瀬川の水温の測定も行,た。 ル月8日~9日は上の火地点(たかし日地点は 気象観測は行、てない)で観測を行、たか、ル月 9日~ル日はA、B地点のみで行,た。

#### 3. 観測結果

#### (1) 盆地中心部の霧

高谷山 (D地点)からの観測によると、今回も川筋部から盆地中心都に向う霧の粉鉱か見いれた。粉鉱がは、きり認められたのは江ノ川、可愛川からである。馬続川、神ノ瀬川からの派入は及るいしばしは観測されていたが今回は見られなかった。また神ノ瀬川からの派入がないことも意外なことであった。これらの点は川筋からの派がないにとせますものかも知れない。時間的な経過は次のようである。

23時:最初比較的薄いもやが有街地かよび川筋に発生する。

の時:もやは川筋部で濃くかり霧の状態に発達する。 この状態にか、た後、川筋部から希街地への 流入かりすか知分位の間に完了する。

四時:その後、中心部の霧は沢第に濃くかなととも に霧の上面の高さも上昇する。やがて市街地

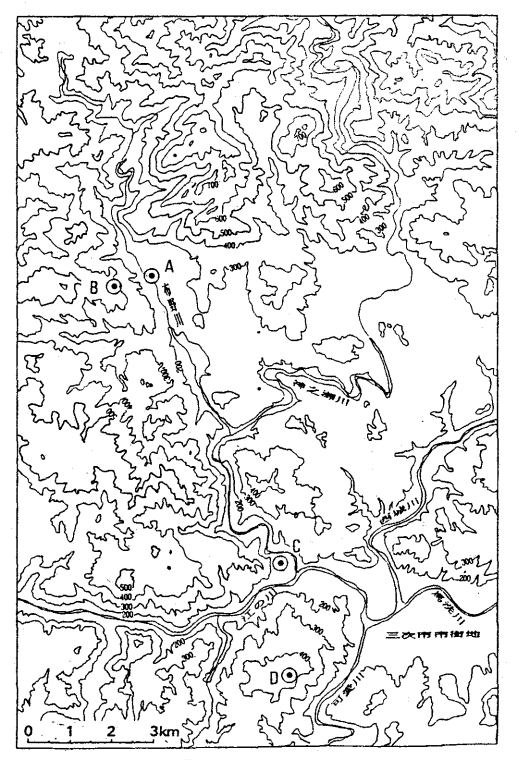


図1. 観測地点と周辺の地形

- A: 布野小学校 B: 概谷山 C: 三次西/学校(BF)
- D: 高谷山

の光は全く見えかくかす。

その後、霧の上面が上下に運動することや筋状の模様が生じたりするのが観測された。日出後は、上下運動だけでなく、水平を何の動きが運んになる。 パ時か今:やがて、市街地かう。する見え始める。 ル時:消散した。

#### (2) 川筋部の霧

a. 日下付近 (C地点) の霧

ここで観測された霧の動きは複雑である。すなりる高谷山(D地点)から観測された江か川沿いに東に向、て動動する霧と可登川沿いに北に向、て動動する霧とがこの付近で合流しているようである。また北側の神ノ瀬川からの流入はここでも観測されていない。

時間町が経過は次のようであった。

- 22時:高谷山の東部と西部の谷間からもや発生。とくに角西方向が濃い。
- 29時東西に発生したもやは獲くか了とともに、東西から勢動し合流する。濃い部分は山の中間付近である。
- **川時冷淡後、上下に広がり高谷山はす。かり霧にもかわりる。たた地上数々はすけて見える。**

エの川のる向から発達した霧が西側の山に沿、て北上し始める。紡動速度は1時間に約加加と遅い。この時点では霧は中腹以上にかか、ている。

- の時親測地点上空ももやかかか、てくる。
- の時知分:北上したもやは時計まわりにまわって北側の山の東部にまて達する。
- **以時観測地点上空霧でおかりれて。**
- 終時知分:高谷山の方何か3霧が北上し、江の川の土牟にかか了。一方北側のもやは濃くな。て霧となる。
- 05時観測地点付近の霧はさるに渡くなり、地上かる豹よ加上は見えない。 また水平方向の観報も豹

10 m x t 3.

日の出後、高谷山の霧は薄くなりながら上るに広、た。日下周辺の霧は、西側では北から角へ粉的するとともに上空にひるがり、東側では北の方角に紡動しながら次竈に晴れて折、た。この紡動の何きは霧が濃くなる時と逆向きであ、た。高谷山からの観測によると日下の西側の霧は、さらに江の川沿いに下流の方角に粉動している。その際、霧は大きなかたまりのような形状となり、それがあたかも転、て行くように観測されている。

#### 6. 布野の霧

規公山から見た布野付近の霧は、布野村で発生するものと 南かいし東側から流入してくるものとによって形成されるようである。1日日は布野村の北側にそかえて山の中腹付近に 発生した霧と、南側かりが東側から淡入する霧とがわすかか 分位の間に布野村全体とかか。た。2日日は1日日より冷え 込みは大きか。たにもかかわるす布野村での霧の発生は弱く、 南かよが東側かるの霧の淡入によって霧となっている。霧で かかめれた時刻は1日日が4時頃、2日日は3時頃であった。

村全体が繋でかかわれた後、1日日は次第に繋が厚くなり観測地点(B地点)も霧にかかわれるという状態が日の出頃まで続いた。これに対し、2日日は1度す。ほりとかかわれた後、急速に霧面が下降し、以後、朝まで変化がかか。た。このような違いかっ体ビのような条件によ、て生じるのか全くわからかい。

梶谷山から見ていると角東の方向の谷間が比較的早く日。 いくかり、やかてそれが次第に布野村の方角に及んでくる。 図1でみなとこれは、神ノ瀬川沿いの比較的高度の低い地域であることがわかる。しかしこの地域に発生した霧は今回の 場合、日下の方には決出していかい。

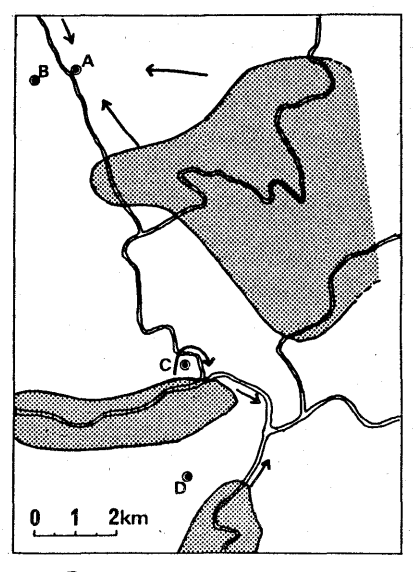


図2.霧の発生域と移動方向の模式図 → 駅の移動方向

以上の霧の動き直発生時について模式園町に示すと、園2のようになる。単純に川筋部から盆地 中心都へ霧が流入すると片付けるれかりようか釣さましていることがわかる。

#### (3) 霧の発生新度

日下で観測された高谷山のち角の霧は最初、山の中腹付近で濃か。た。また江の川のるか3日下 の北の方に移動して行った霧も、山の中腹以上で濃い分布をしていた。布野では2日間とも北側の 山の中阪付近に筋状に霧が発生したことが見い出されている。さるに布野村で1日目、 急遽に全村

が霧でおおわれた後、 / 時間位の間に地上数十m付 29T 近までの霧が薄くなすという現象が見い出されてい 3. また地上付近まで霧が濃くなっても、地表面近 くはなか霧が薄いということも今回たけでなく。( はしは観測されている。

#### (4) 気象データとの関係

図3は気温の観測結果である。布野の気温をみる と2日目の冷え込みの大きいことがわかる。 1日目 の高谷山ヒ2日目の梶谷山のいすれも川筋都より気 温が高いのは、逆転層の形成に関係していすと思り 八了。しなし1日目の上時過ぎ頃には逆に高谷山が10 伦くなっている。これはこの順高谷山が霧でわかり れ始めたことと、日下では逆に少し気温が上昇して いすことと関係していすようである。布野と日下と も此べすと終始、日下の方が気温が高くなっている。 これは盆地の周辺と中心部との違いを示すものであ

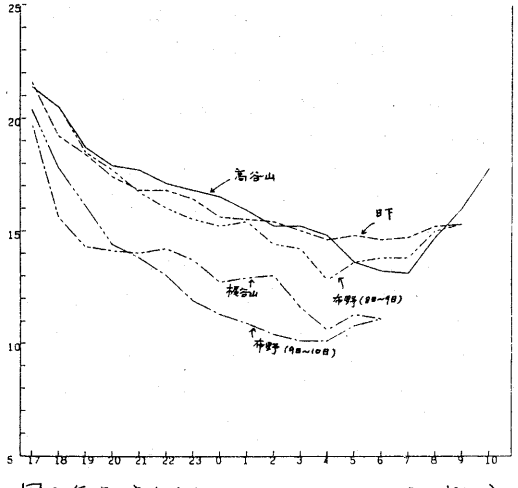


图 3. 気温の変化(1987年10月8日~9日,9日~10日:布野. 秧仙)

#### 3うか。

図4は湿度の結果でおる。20時頃まで急速な湿度 の上昇が升られるのはどの地点も共通している。こ れは気温の低下にともなうものだと思われる。図で od は見にくいが、霧でかかわれてと湿度が増加すてと いう変化が生じている。山の上の観測地点である高 谷山と梶谷山の文化が異な、ている。観測した日が 達。ているが状態はほぼ同じかと考えるれるにもか。 かわるす、梶谷山は平地と同様の変化をしているの に対し、高谷山は最初、逆転層の上部と同じ状態を 示している。たた気温でみると梶谷山も逆転層の上 都であることを示しているので、これが逆転層の場 所によて違いを示すものかどうかについてはかお検 討を要する。

# 100 布野 (87-10 1204 高谷山

図4、湿度の変化(同上)

#### 4. おとがき

川筋部での霧の出来るや盆地中心部への霧の粉釣 について、これまでよりも詳しい観測を称。た。その結果、川筋によ。て霧の発生や紡動の仕方は さまざまでおり、盆地中心部と川筋部という単純力とよえるだけでは、実態を十分にとらえること はできないように思われる。今後、盆地内の霧の発生状況の場所的が違いについて詳しく調べるこ とか必要であす。また、霧が発達す了時の速やかさ、霧の発生高度などについてもデータをさらに 得了必要分为了。

謝辞 今日の観測に際し、観測場所の提供などで協うして下さった三次市立三次西小学校かりか 布野村立布野小学校、さらに観測を補助していたかいた広島女子大学の学生の皆さん、互光 (株)の 榛谷氏、その他観測に関して援助、協力していただいたカタに深く感謝致します。

# 中国山地の霧の発生条件の研究 宫田賢二,佐瀬尚美 (広島女子大学)

#### 1. ほじめに

三次盆地と中心とす3客の統計的な性状について、これまで何度が報告がなされてきに(1903,1905)。 その結果、この地域の霧の発生には明瞭は季節変化がわられることや、天気(日照時間)との灯応 がよいことびどが明らかにされている。 しかし気象条件もの、 より詳細な関連性については明らか いされていない。しなが、て、たとえば夥う報の方法を現在われわれば符っていない。これは、ひ

どつには現地での正確な瘩観測データがおいことによ 3. 今回、日本道路公园以中国自動車道の管理のため いけ、ている観測に基づく移発生データを得ることが できた。そこで、このデータをもとに務の発生状況と 発生条件とのかかりりについて解析を行ってみた。

#### 2. 方法

道路公団の観測データは、正確にほ日本道路公団広 **鳥管理局が保管する通行状況把握表というもので、中** 国自動車道のうち、同管理局の管理已開である矢庫県 佐用郡佐用町の佐用I.C (1.C含まず) から下関市小月 町の小月I、C(I.C含まず)までの各己間における、速 度規制・走行注意報等の発令状況の記録されている。 今回の解析は1925年4月から1926年3月までの、広島 其の東城I.Cから吉和I.Cまじについて行っている。 観測は、この正問をすらに7追閉に己分しに地域毎に

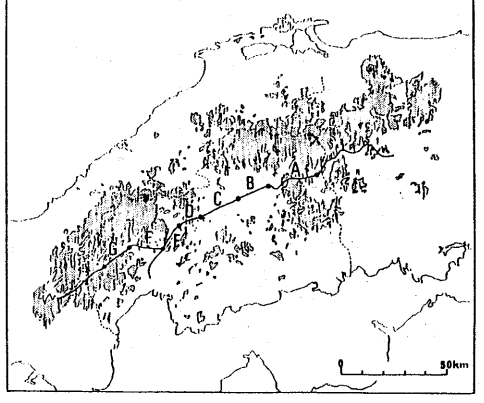


図 1. 中国自動車道 路稳园(広岛管理局管内) A:東城-庄原 B:庄原-5次, C:三次-高田, D:高田-4代田, 市代田-広島北JCT, F: 広島北JCT-产河内, G: 产河内- 吉和. 科架部は海拔高度500加以上の地域、

行われている。己間の範囲を図1(:示す。

まず、通行状況把握表の霧走行注意報およびSOK規制発含日に発生」注意報発令日教 している霧形放射霧的なものであるかどうかを次のような条件により て判定した。なお路はどの1三間で発生して、場合でも、発生してもの「湍渡間環動各性流行」(1) として取り扱っている。

(1)時間帯の条件…注意報の始まりの時刻の日入の時刻のら日出後2 (i)(ji)の両方を満にす 時間の間にあること。

#### 四天気 条件

ること。

(i)広島のIFh-型6hの雲量が平均して&以下であること。

121 時間帯の条件と満にす 120 91 高野の日駆革の条件を満しす -(ii) 76 70 (i)(ii)のどちらも満にさない 23 据発生日数 97

日教

表1 判定条件と発生日数 (ji)高野の前後2日の日熙率がともに19%以下(これは変量&以下は該当すると考えられる)であ

このうち時間帯の条件を満にしており、かつ天気の条件(i)(ii)のうち少なくともどちらかーオを満 たしている日を霧発生日とすることにした。この条件は、従来知られている発生条件から考えると ダツゆるいものであるが、溶の発生条件が大きな幅をもつ可能性を考慮して決めた。

解析はこうして決められて:溶発生日をもとに、まず(1)発生日数、(2)発生・消滅時刻、(3)特疑時間 などの発生状況について行い、次に気象条件ものかぬわりについて行。に、気象条件ものかぬわり (1ついては、現在までのもころ高野の日照率も三次の最低気温との対応についての時系列的解析し **か行,ていないが、一般場や上層の気象条件との関連びざについて解析を行う予定である。** 

#### 3. 結果

#### (1)、 発生状況

#### a、判定条件と発生日

表1に判定条件も発生日との関係を示すものである。この正関で発生した夥は、1回を除きすべ て時間帯の条件を満なしていることがわかる。天気の条件のグち、高野の日照率が広島の夜間の雲 量をり厳しい条件には,ている。いずれかの条件で満たすまは97日には,ているが、この日数は従 来調べられに日数にほぼ対応するものである。

#### b、発生日數

図2.15年間の各区間の総発生日教を表めず。 高田一千代田間が最も別いことがめかるが、三次ではさんだ区間よりも別いのは予想外であった。 月別にみると、高田一千代田間は春から夏に他の込間より別いのは対し、秋は三次行近がも、とも別くなっている。 広島北丁CT一戸河内間は、年間を通してほとんざ発生していない。各区間の発生日教を月別にみると、10月を中心とする秋に別く10月15広島北JCT一戸河内一吉和間を除いて各区間とも10月以上発生しており、最高は三次一高田間の16日である。 2月15全区間を通じても3日しか発生しておらず、他の月に比べてとくに少な

い。5.6.8月は全正間を通して15月程度で、2月の次に少ない。図317三次一高田間の年変化である。10月のほか1.9.11月に301が、意外なことに、この己間にもかられるように7月に3012間にサロくない。正間別の年変化は、よく発生している己間は大体似に傾向で示している。

# C. 発生·消滅時刻

霧の発生、消滅の時刻を各己間、各月別に調べてみて。 園午1下三次一高田間の結果である。 発生時刻に夏に遅く杖と冬に早くび、ている。 消滅時刻に逆に夏に早く杖と冬に遅くだっている。 しかし、これらの時刻は日人・日出時刻に平行して変化しているともいえだいようである。 ざの正間も夜半過ぎ頃に発生し、日出後し~2時間後に消滅している。

### d. 持続時間

発生時刻から消滅時刻までの時間を持続時間として求めてみ

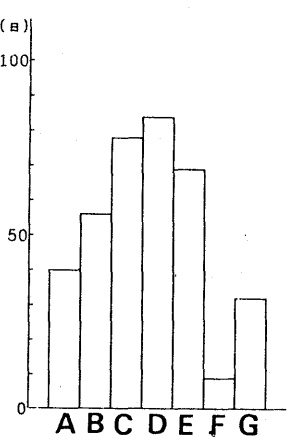


图 2 区間別年間総霧発日数 (1985年4月~1986年3月)

た。務の持続時間を月別にみると、各旦間とも9月から1月までの時期が長い。次いで春が長く夏は短い。回5は三次一高田間の持続時間の年変化である。秋から冬に長く、夏は短い。これは他の辺間でもほぼ共通しているが、春については外い辺間と少ない辺間に分れるようである。

#### (2). 気息条件とのかかりり

#### .a. 日照率との関係

図6.7は4月と10月の高野の日照率の変化と霧発生日(04)を示してものである。これによると、発生日の日照率は4月で65%以上、10月では1例と除いて50

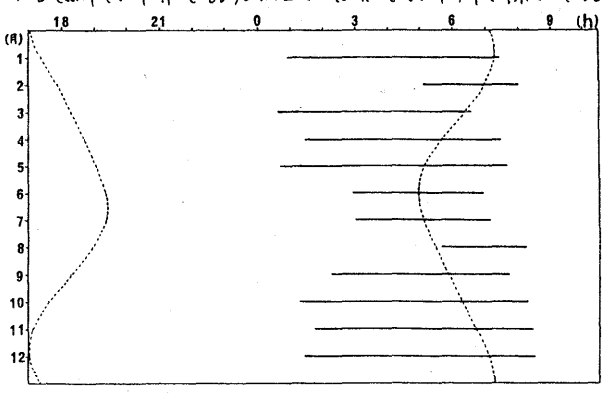
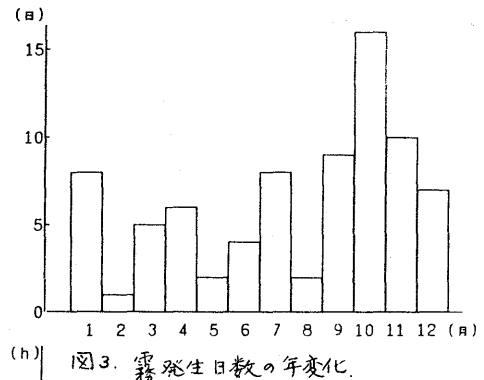


図4. 霧の発生×消滅時刻の年変化. €区間(三次-高田). 東線は日入日出時刻も示す



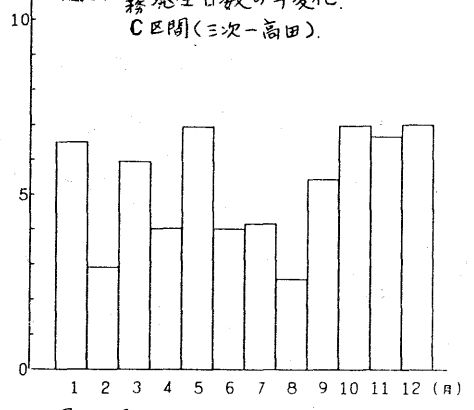


図5 霧の持続時間の年変化(C型間)

%以上(こび)、ている。10月の場合、日照率 の低い日も除いてほせんど連日のように発 生しているが、4月の場合、日照率が高く ても発生しない目がある。

## b. 最低気温eの関係

図8.9174月610月の三次の最低気温の 変化と霧発生日(○印)を示したものである。 これらの関から、最低気温が低く一定して 状態の続いているようが場合に霧が集中し て現りれているようにみえる。 4月の場合 のように、 最低気温が低くてもその前後の 且の値の変化が大きい場合には発生してい ない。このことは、この地域の野の発生に はシノプティックな気象状能の安定して存 在することの必要であることを示すものの もしれない.

#### 4. あとだき

これまでは、三次付近についての研究し か行っていなか、にが、今回、通行状況把 握表(こよ, て広島県下の中国自動車道沿い の地域の発生状況を解析することができた。 その結果. 1985年から1986年の1年間の状

況ではあるが、三次付近より高田一千代田 間の発生日数の別いしゃ、広島北丁CTー ア河内間は、ほとんど格に発生しないこと けんでがわかった。まに、区間による発生日 数の違いはあるが、 霧の秋に知いことがあ らなめて確認されなさいえる。

気象条件とのかのわりについては、まだ 2つの条件しか解析していけいだ. 熔が時 期的にまぐま、て発生する傾何のあること びわかった。今後、上層の風向・風速、気 温、湿度ひざの一般喝の条件、および冷え 込み量等の細かい条件について検討を行い どのような条件が熔発生を左右しているの かを解明してゆき にいせ考えている。

最後に、今回の解析に際して快よくデー タき提供していただいた日本道路公団広島 管理局に啓謝します。

## 引用文献

中国山地の霧研究グループ、1983:三次・圧原にあける霧の 統計的調查,例依講演要旨集中27号,5~6. 宮田賢二他,1985:ミ次の霧の統計的性状にかて. 何烩請演要訴案 \* \* 34号 36~38.

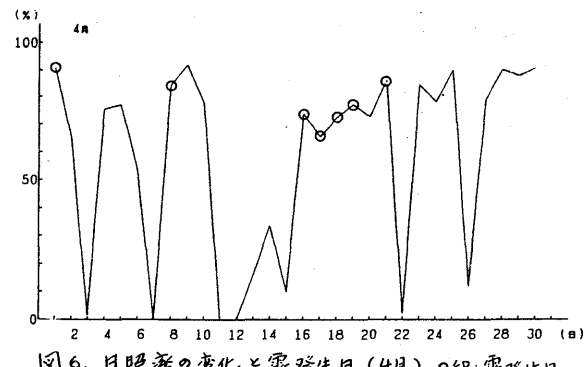


図6. 日照率の変化と霧発生日(4月)の印:霧発生日

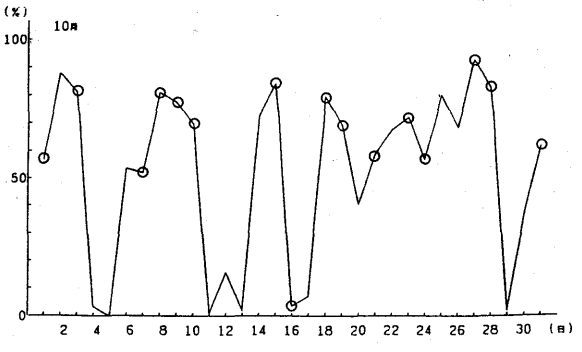


图7. 日照率の変化と霧発生日(10月)。O印:霧発生日

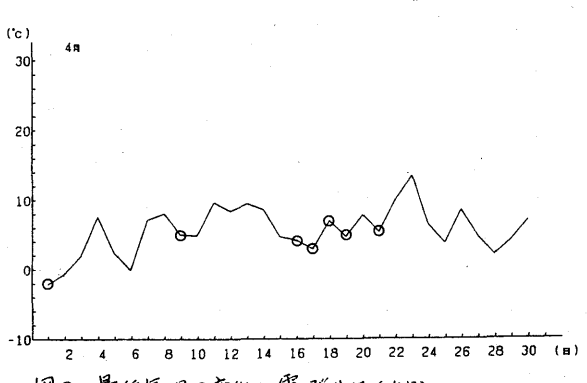


図8. 最低気温の変化と霧発生日(4月).

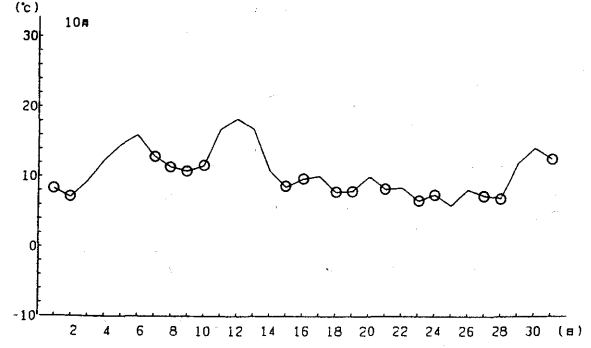


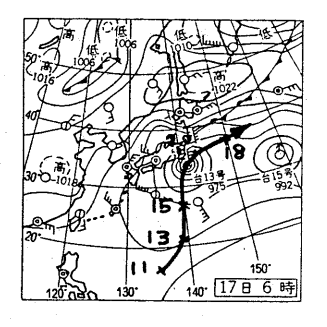
图9. 最低気温の変化と霧発生日(10月)

佐橋 謙 (岡山大・教育)

#### 1. はじめに

広戸風は岡山県北部那岐山南麓日本原一帯で時々発現する局地 風として古くから有名である。 この局地風の特徴は 強風域が狭 その時 那岐山を含む東西に連なる山脈の稜線上に「風 枕」と地元で呼び慣わされているロール雲を伴うこと等である。 その発現は 台風または強い低気圧が紀伊半島南東側を東ないし 北東に進行するとき、岡山県北部ではシノブチックスケールで北 風となり、那岐山の北側では、鳥取県の千代川が北に開いた形の 流域を持つためその中に空気が収束し、 強風となって那岐山を越 と言う様に説明されてきた。 風下側の日本原で強風となる。 これだけの説明では風下側の強風域が狭いこと、 山を越えた風が 何故地表に達するのか、 等という部分が十分な説得力を持たない ように思われる。

一方、 例えば、 英国のヘルムウィンド等は、 SCORER(1965)の言う山麓え気流として 説明され、 SCORERのモデルと現象との一致も十分のようである。 広戸風の場合もこれらと同一の現象として説明されるならば、 上述の強風域の狭いことも山を越えた気流が地表に達することも説明でき、 問題は解決する。 広戸風がこれらと本質的に同じ風である事を主張するためには、 勿論、 その風が吹いているときに、 気流沿いの鉛直断面上での風の流線が書けるよ



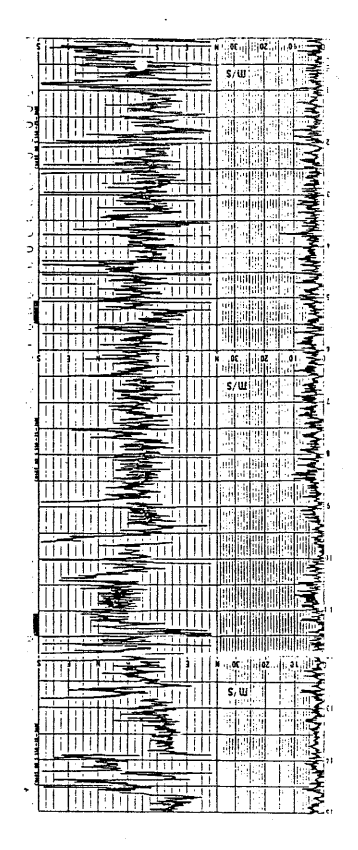
第1図 天気図 1987年9月17日. 太実線は台風13号の経路. そばの数字はその場所にいた 日付(06時).

第2図 風向と風速記録. 岡山県勝田郡那義町役場提供.

うな観測をすれば良いのだが容易ではない。 ところが ヘルムウ ィンド等で観察されているような、山脈に平行なロール雲状の雲 広戸風の場合にも「風枕」とは別に山脈の風下側に存在す ることが確かめられれば、 広戸風も SCORERの 言う山 越え気流であ る事が間接的に証明されたことになる。 筆者はその様な観点か 過去の研究報告、 地元の人の証言等を調べてみたが、 上述の 「風枕」は多くの人が観察しているものの、 その風下側に存在す るかも知れない第2番目、第3番目の雲列の、 写真は勿論、 証言も手に入れることは出来ないでいた。 ところが、 本年9月1 広戸風に伴う2番目の雲列ではないかと思われる雲の 写真を、岡山大学教育学部学生杉山義和君が撮影して筆者に提供 この写真を解析することによって、 写された霎列は、 那岐 した 山系の稜線にほぼ平行で、 稜線から約6 km南側にあることがわか このことは、 広戸風がSCORERの言う山越え気流と同じもの った。 であるとの一つの証拠となり得るので報告したい。

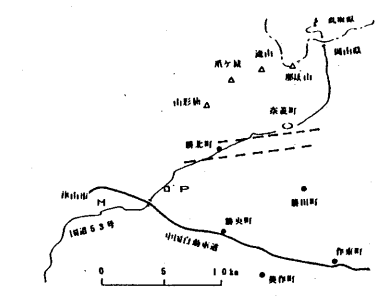
#### 2. 1987年9月17日の広戸風

当日 0 6時の天気 図とその前後の 台風 13号の 経路を第1 図に示す。台風 13号の 位置は紀伊半島の 南東側と は言い難いが、 それでも 等圧 棟からみて 岡山県北部で北風、 従って 広戸風が吹いても 良い位置にある。 この 時の 日本原近くの 那 義町 役場 屋上での 風の記録を第2 図に示す。 パルス 状に風速の 大きい時が 間欠的に 現れているが、 そのうち北風であるのはそんなに多くはない。 図に示されている 期間中の最大 風速は 03時 45分ごろの 15m/sであるがこの時も 風向 は 南西である。 9月 16日 21時の米子での ゾンデ資料によると、 地上 3.5km以下では、 北北西から 北北東の 5から 10m/sの 風であるから



#### 3. 第2雲列の写真とその解析

の距離が約6km、雲の幅が約1.5kmと評価された。 また、使用されたカメラの視野角は45度であることから第2雲列の延長は最低10kmと推定される。これらの事実は、山頂と第2雲列の間に山岳波動の谷の部分があり、そこで明に山岳波動の谷の部分があ発生く一致した国域、すなわち広戸風が天変良は、山岳波動の一面を現しており、従って、広戸風はている。即ち、今回撮影された雲列は、山岳波動の一面を現しており、従って、広戸風はその発生機構はヘルムウインドと同じと見て



第3図 付近の地図.

O: 奈義町役場。
P: 写真撮影位置。
M: 津山測候所。
破線は写真から推定された雲列の位置。

$$L_1 = \frac{z_2 - z_1}{z_2} L$$

$$L_{2} = \frac{z_{3} - z_{1}}{z_{3}} \quad L \quad - \quad L_{1}$$

第4図 写真からの雲の位置の推定原理.



1987年9月17日07時ごろ撮影された

A : 風枕

B : 2番目の雲列

C、D: 青空も見える雲の薄いところ.



# 気象のコンサルタント

# (財) 日本気象協会関西本部

# 主な事業案内

- 気象知識及び防災思想の普及
- 気象機関の各種観測資料, 天気予報, 長期予報及び情報の提供
- 気象, 地象, 水象等に関する予測手法の研究, 開発ならびに特定 利用者に対する予測の提供
- 大気質、水質の測定と分析及び評価
- 水資源, ダム管理, 河川洪水等に関する水文気象観測, 調査及び 研究
- 波浪, 潮流等の海象に関する観測, データ処理, シミュレーション及び予測の研究
- 環境アセスメントに関する気象及び水象の観測,調査ならびに研究
- 気象に関する学術助成及び気象事業関係者の共済及び育成事業

大阪市東成区東今里3丁目16番11号

# 鸎 日本気象協会関西本部

電話 大阪 (06) 972-7501